

Universita Karlova v Praze  
Farmaceutická fakulta v Hradci Králové

Katedra farmaceutické chemie a kontroly léčiv

**Stanovení cefalosporinů metodou vysokoúčinné kapalinové  
chromatografie**

(bakalářská práce)

Hradec Králové, 2007

Iveta Jokešová

*Děkuji pracovníkům úseku klinické farmakologie ÚKBD FN v Hradci Králové, že mi na svém pracovišti umožnili vykonat experimentální část mé bakalářské práce, zvláště pak PharmDr. Janě Malákové za odborné vedení.*

*Děkuji dále PharmDr. Petru Kastnerovi za cenné rady a připomínky, které mi během bakalářské práce poskytl. Rovněž děkuji pracovníkům Katedry farmaceutické chemie a kontroly léčiv.*

## OBSAH

<b>1. ÚVOD</b>	<b>6</b>
<b>2. TEORETICÁ ČÁST</b>	<b>8</b>
<b>2.1.Cefuroxim</b>	<b>9</b>
2.1.1.Chemické a fyzikálně chemické vlastnosti cefuroximu	9
2.1.2.Farmakologie	9
2.1.2.1.Antimikrobiální aktivita	9
2.1.2.2.Farmakokinetika a dávkování	10
<b>2.2.Analytické metody pro stanovení cefuroximu</b>	<b>12</b>
<b>2.3.Princip a instrumentální vybavení pro metodu         vysokoúčinné kapalinové chromatografie</b>	<b>14</b>
2.3.1.Úvod	14
2.3.2.Princip chromatografie na reverzní fázi	15
2.3.3.Charakteristika detektoru diodového pole	15
<b>2.4.Mikrodialýza</b>	<b>17</b>
2.4.1.Princip mikrodialýzy	17
2.4.2.Využití mikrodialýzy	19
<b>3. CÍL</b>	<b>21</b>
<b>4. EXPERIMENTÁLNÍ ČÁST</b>	<b>23</b>
<b>4.1.Použité chemikálie, biologický materiál,         pomůcky a přístroje</b>	<b>24</b>
4.1.1.Chemikálie	24

4.1.2. Biologický materiál	24
4.1.3. Pomůcky	24
4.1.4. Přístroje	25
<b>4.2. Pracovní postup</b>	<b>26</b>
4.2.1. Příprava roztoků	26
4.2.2. Příprava kalibračních vzorků v Ringrově roztoku	26
4.2.3. Příprava kalibračních roztoků v plasmě	26
4.2.4. Vlastní analýza vzorků z mikrodialýzy	27
4.2.5. Vazebnost cefuroximu na bílkoviny plasmy – metoda ultrafiltrace	27
4.2.6. Extrakční postup u vzorků plasmy	27
4.2.7. Chromatografické podmínky	28
<b>4.3. Vyhodnocení výsledků</b>	<b>29</b>
4.3.1. Statistické výpočty	29
4.3.2. Výpočet validačních parametrů	29
4.3.2.1. Detekční limit (LOD)	29
4.3.2.2. Limit kvantifikace (LOQ)	30
4.3.2.3. Linearita a rozsah kalibrační závislosti	31
4.3.2.4. Přesnost stanovení	31
4.3.2.5. Správnost stanovení (accuracy)	32
4.3.2.6. Extrakční výtěžnost	32
4.3.2.7. Selektivita	34
4.3.3. Aplikace metody v klinické studii	35
<b>5. VÝSLEDKY</b>	<b>36</b>
<b>5.1. Chromatografické záznamy</b>	<b>37</b>
<b>5.2. Validacionní parametry</b>	<b>41</b>

5.2.1. Detekční limit LOD	41
5.2.2. Kvantifikační limit LOQ	44
5.2.3. Linearita kalibrační závislosti a pracovní rozsah	45
5.2.4. Parametry přesnosti a správnosti	46
5.2.5. Extrakční výtěžnost metody pro cefuroxim a vnitřní standard	51
<b>5.3. Identita a čistota píku cefuroximu a vnitřního standardu</b>	<b>54</b>
<b>5.4. Aplikace analytické metody při klinické studii</b>	<b>56</b>
5.4.1. Koncentrace cefuroximu v mikrodialyzátu	56
5.4.2. Koncentrace cefuroximu v plasmě – volná frakce	57
5.4.3. Koncentrace cefuroximu v plasmě – celková	58
<b>6. DISKUSE</b>	<b>59</b>
<b>7. ZÁVĚR</b>	<b>62</b>
<b>8. CITACE</b>	<b>64</b>

## 1. ÚVOD

Cefuroxim je antibiotikum z druhé generace cefalosporinů, patří do skupiny antibiotik, které se podobají penicilinům, ale jsou rezistentní vůči beta – laktamáze a jsou účinná jak proti grampozitivním, tak proti gramnegativním bakteriím. (1)

Pro stanovení tkáňové koncentrace cefuroximu během kardiochirurgké operace v mimotělním oběhu v rámci mikrodialyzační studie jsme zavedli metodu vysokoúčinné kapalinové chromatografie.

Tato diplomová práce se zabývá vypracováním metody vysokoúčinné kapalinové chromatografie pro stanovení hladiny cefuroximu v plasmě a mikrodialyzátu, její validací a ověřením vhodnosti použitelnosti nové bioanalytické metody v uvedené klinické studii.

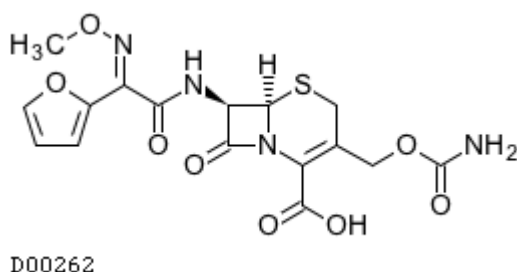
## 2. TEORETICKÁ ČÁST



## 2.1. Cefuroxim

### 2.1.1. Chemické a fyzikálně chemické vlastnosti cefuroximu

Cefuroxim je bílá krystalická látka. Její chemický název je [6R-[6 $\alpha$ ,7 $\beta$ (Z)]]-3-[[[(Aminocarbonyl)oxy]metyl]-7-[[2-furanyl(methoxyimino)acetyl]amino]-8-oxo-5-thia-1-azabicyclo[4.2.0]oct-2-ene-2-carboxylic acid.  
(3)



$C_{16}H_{16}N_4O_8S$  (3)

Molekulová hmotnost: 424,39

Cefuroxim je rozpustný ve vodě. (3)

### 2.1.2. Farmakologie

#### 2.1.2.1. Antimikrobiální aktivita

Mechanismus účinku cefalosporinů je podobný mechanismu účinku penicilinů. Spočívá ve vazbě na specifické vazebné proteiny pro peniciliny ( penicillinbinding proteins – PBP ), které na bakteriích slouží jako receptory, dále inhibují syntézu buněčné stěny blokádou transpeptidace

peptidoglykanu, a aktivaci autolytických enzymů v buněčné stěně, která vede k letálnímu poškození bakterie.

Rezistence vůči cefalosporinům může být důsledkem špatného průniku cefalosporinů do bakterií, nepřítomnosti PBP pro daný cefalosporin, degradace cefalosporinů beta – laktamázy, výskytu speciálních beta – laktamáz během léčby některých gramnegativních tyčinek a neschopnosti aktivovat autolytické enzymy buněčné stěny. Obecně jsou tato léčiva účinná proti mikroorganismům, na něž působí cefalosporiny první generace, jako jsou grampozitivní koky včetně pneumokoků, viridující streptokoky, hemolytické streptokoky skupiny A a *S. aureus*, ale mají oproti nim rozšířené působení na gramnegativní bakterie. Citlivé jsou obvykle *Enterobacter sp.*, *Klebsiella sp.* včetně kmenů rezistentních vůči cefalotinu, a *Proteus sp.*. Cefamandol, cefuroxim, cefonicid, ceforamid a cefaclor jsou účinné proti *H. influenzae*, ale ne proti *Serratia* nebo *B.fragilis*. Všechny cefalosporiny druhé generace působí na grampozitivní bakterie méně než cefalosporiny první generace a žádný nepůsobí na enterokoky a na *P.aeruginosa*. (1)

#### 2.1.2.2. Farmakokinetika a dávkování

Perorální aplikace: Cefuroxim – axetil může být podáván ve formě kapslí nebo suspenze, obvyklá dávka pro dospělé je 10 – 15 mg/kg/den, ve 3 – 4 dávkách, pro děti 20 – 40 mg/kg/den, až do maximální dávky 1 g/den.

Intravenózní aplikace: Cefuroxim ( Axetine, Medochemie Ltd., Limassol, Kypr ). Jeho plasmatický poločas je kolem 70 min., vylučuje se z 50% glomerulární filtrací, z 50% tubulární sekrecí, obvyklé dávkování je 750 mg – 1,5 g po 8 hod. (1)

Používá se při kardiochirurgických operacích jako profylaxe postoperačních infekčních komplikací během kardiochirurgické operace. Doporučené dávkování: 1. dávka – 3 g Axetine v úvodu do celkové anestezie, 2. dávka – 1,5 g Axetine po podání protaminu. Další dávka –

revaskulizace po 8 hod. 1,5 g 1x, výkon na chlopni po 8 hod. 1,5 g do druhého pooperačního dne.

## 2.2. Analytické metody pro stanovení cefuroximu

Pro stanovení koncentrací cefuroximu v biologickém materiálu se používají metody separační, především kapilární zónová elektroforéza (CZE) a vysokoúčinná kapalinová chromatografie (HPLC). Následující tabulka uvádí v přehledu některé vybrané CZE a HPLC metody a jejich charakteristiky, jako je způsob úpravy vzorku před vlastní analýzou (extrakce kapalina – kapalina, extrakce na pevných fázích, deproteinace), vlnová délka při UV detekci, použitý vnitřní standard.

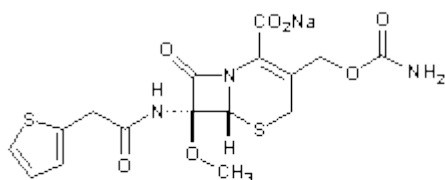
Tab. 1. Tabulka přehledu analytických metod pro stanovení cefuroximu

<b>Materiál</b>	<b>Úprava vzorku</b>	<b>Detekce (nm)</b>	<b>Vnitřní standard</b>	<b>MF / Elektrolyt</b>	<b>Metoda</b>	<b>Citace</b>
Plasma, mikrodial.	Deproteinace ACN	270			CZE	9
Moč, žluč	Moč – filtrace přes 0,2 um	210		50 mM citrátový pufr	CZE	10
BAL	SPE	280	cefaloridin	15%ACN 85% amonium fosfát	HPLC	4
Sérum, moč, žluč	Extrakce do metylen chloridu	254		20mM amonium acetát / ACN	HPLC	8
Plasma		254	cefotaxim	85% 0,02 M acetat.pufr 15% ACN	HPLC	5
Plasma, moč	SPE	265	cefazolin	85% 0,05M fosf.pufr+0,01M triethylamin, 9%ACN, 6%MeOH	HPLC	6
Plasma, sérum, likvor, žluč, moč, synov.t., pleur.t., periton.t.	Deproteinace ACN	240	cefoxitin	Trimetylamoniu mbromid, titrisol, fosf.pufr, K.octová, ACN, H <sub>2</sub> O	HPLC	7

Vysvětlivky k tab.1.:

ACN	acetonitril
SPE	extrakce na pevných fázích
BAL	bronchoalveolární laváž
MeOH	metanol
MF	mobilní fáze

Na základě provedené literární rešerše a předběžného testování podmínek jsme se rozhodli připravovat vzorky extrakcí cefuroximu z plasmy do metylenchloridu a jako vnitřní standard použít cefoxitin.



Monosodium (6*R*,7*R*)-3-carbamoyloxymethyl-7-methoxy-8-oxo-7-[(thiophen-2-ylacetyl)amino]-5-thia-1-azabicyclo[4.2.0]oct-2-ene-2-carboxylate

Cefuroxim jsme detekovali při vlnové délce 254nm na detektoru diodového pole. Detailnější podmínky analytického postupu jsou uvedeny v kapitole 4.

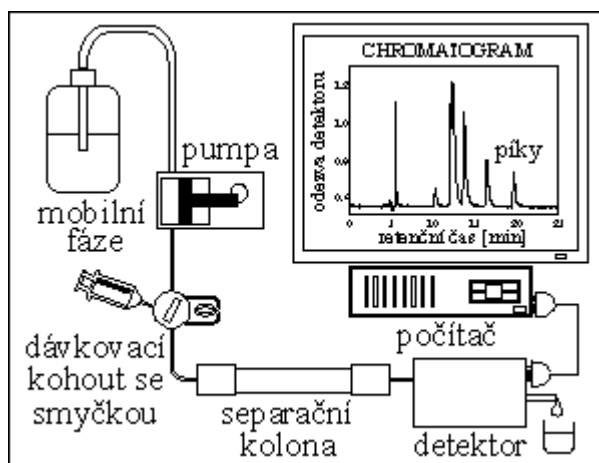
## 2.3. Princip a instrumentální vybavení pro metodu vysokoúčinné kapalinové chromatografie

### 2.3.1. Úvod

Instrumentální vybavení pro metodu vysokoúčinné kapalinové chromatografie zahrnuje automatický dávkovač, pumpu, zásobník mobilní fáze, modul na odvzdušnění mobilní fáze (on line degaser nebo zařízení pro přívod helia do zásobníků mobilní fáze), modul zajišťující uložení kolony a detektor, např. UV – VIS spektrofotometr, detektor diodového pole, fluorescenční detektor, elektrochemický detektor, hmotnostní detektor.

Pro automatický provoz je výše popsán systém vybaven chromatografickým managerem např. EMPOWER (Waters). Chromatografický manager zajišťuje řízení modulů dle nadefinovaných vložených parametrů, sběr a vyhodnocování dat a diagnostiku systému.

Obr. 1. Schéma kapalinového chromatografu



### 2.3.2. Princip chromatografie na reverzní fázi

Převažujícím uspořádáním při analýze kapalinovou chromatografií je separace na reverzní fázi.

Jedná se o typ rozdělovací chromatografie, kdy stacionární fází je nepolární kapalina ukotvená na nosiči a mobilní fází kapalina polárnější. Dnes používané stacionární nepolární fáze jsou tvořeny uhlovodíkovými řetězci  $C_4 - C_{18}$ , které jsou chemicky vázané na nosič např. grafitové nebo uhlíkem potažené silikagely, kopolymery styrenu, divinylbenzenu atd. Ve většině aplikací této metody slouží jako mobilní fáze směs vody a organického rozpouštědla (acetonitrilu, isopropanolu, metanolu apod.). Vzhledem k nepolárnímu charakteru stacionární fáze k ní mají větší afinitu látky s vyšším obsahem hydrofobních oblastí, tedy méně polární. Látky z kolony se postupně eluují rostoucím gradientem organického rozpouštědla (12).

### 2.3.3. Charakteristika detektoru diodového pole

Jedním z často používaných detektorů je detektor diodového pole.

Detektor diodového pole pracuje na principu paralelní detekce v celé sledované oblasti spektra. Umožňuje kontinuální získávání spektrálních informací a získání třetího rozměru vedle parametru času a absorbance bez toho, že by bylo třeba zastavovat průtok (13, 14).

Systém čoček soustřeďuje polychromatické světlo z deuteriové lampy. Po průchodu průtokovou celou se světlo rozkládá na povrchu difrakční mřížky a dopadá na diodové pole tvořené 512 fotodiodami. Na každou z nich dopadá úzký svazek záření o určité vlnové délce. Každá fotodioda je spojena s kondenzátorem, předem nabitým na určitou hodnotu. Elektrický proud, vznikající po dopadu záření na fotodiodu, vybije kondenzátor úměrně velikosti intenzity zářivého toku. Po té se kondenzátory dobijí. Měří se proud spotřebovaný na dobití každé fotodiody a po digitalizaci se jeho hodnota ukládá do paměti počítače. Z ní

lze vyvolávat a zpracovávat uloženou trojrozměrnou matici dat :  
absorbance – vlnová délka – čas (13, 15).

Detektor diodového pole umožňuje:

1. detekci při vlnové délce odpovídající absorpčnímu maximu každé látky
2. výběr vlnové délky, která je pro jednotlivé složky neoptimálnější z hlediska citlivosti i minimální interference pozadí
3. současnou detekci a integraci píků při několika vlnových délkách
4. získání trojrozměrných prostorových chromatogramů
5. sčítání signálů při několika vlnových délkách
6. kontrolu čistoty píků, snímaná spektra v průběhu eluce píků jsou porovnávána a počítač provádí výpočet faktoru čistoty
7. pro ověření identity píku se vedle retenčního času uplatní i UV/VIS spektrum, které se porovná se spektrem standardu v knihovně spekter. K potvrzení identity píku slouží i výpočet faktoru shody mezi spektrem získaným při eluci píku a spektrem standardu v knihovně spekter(13).



## 2.4. Mikrodialýza

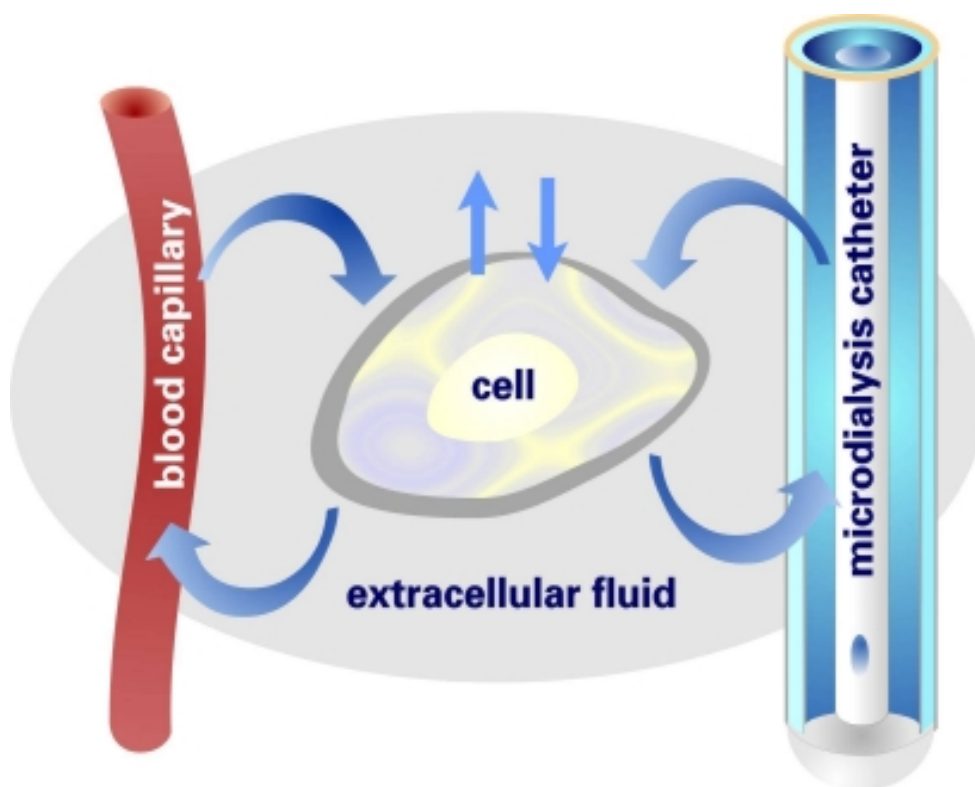
### 2.4.1. Princip mikrodialýzy

Nová bioanalytická metoda pro stanovení cefuroximu byla zaváděna pro účely klinické studie, která využívala jako jeden z metodických přístupů techniku mikrodialýzy.

Mikrodialýza je založena na získávání vzorků solubilních látek z intersticiálního prostoru tkání přestupujících semipermeabilní membránou umístěnou na vrcholu mikrodialyzační sondy. (16)

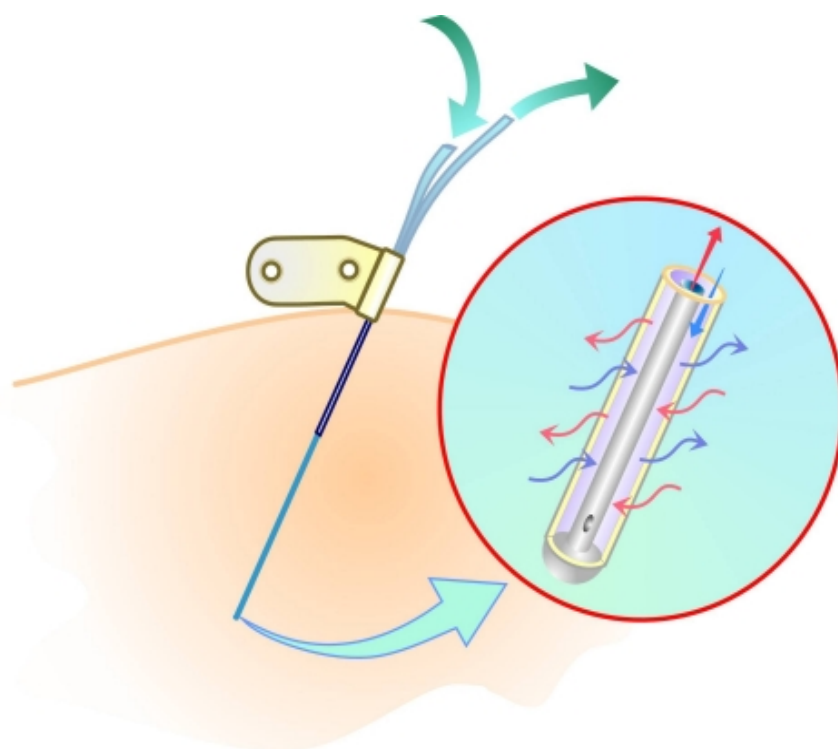
Principem je napodobit funkci krevní kapiláry, ta je představována mikrodialyzační sondou oplachovanou vhodným elektrolytovým roztokem.

Obr.2. Schematické znázornění principu intersticiální mikrodialýzy. Sonda v extracelulárním prostoru napodobuje funkci kapiláry.



Využívají se dva typy sond, které se liší uspořádáním přívodné a odvodné kanyly. První systém tvoří přívodní kanyla připojená k jednomu, a odvodná kanyla připojená ke druhému konci vlastní mikrodialyzační sondy, tzv. sériové uspořádání. Druhý systém představují komerčně vyráběné sondy. Přívodná a odvodná kanyla jsou zasunuty z části do sebe a tvoří tak sondu s dvojitým lumenem. Na vrcholu sondy roztok prochází volně do vnější, odvodné kanyly. Část vnější kanyly je tvořena vlastní semipermeabilní membránou.

Obr. 3. Znárodnění komerčně vyráběné sondy pro použití v podkožní tkáni. Z vnitřní kanyly prochází perfúzní roztok do vnější kanyly obsahující semipermeabilní membránu, tzv. paralelní uspořádání



Semipermeabilní membrána, která je nejčastěji vyrobena z polyamidu nebo polyétersulfonu je nejdůležitější částí systému, svými vlastnostmi má vliv na přestup látek do mikrodialyzátu. (17) Hodnota „cut

off “ membrány se pohybuje od 1000 – 50000 daltonů. (18) Přívodná kanyla je napojena k mikropumpě a kontinuálně proplachována fyziologicky neutrálním roztokem ( Ringerův roztok ). Rychlost perfuze se pohybuje mezi 0,1 – 10  $\mu$ l/min. Nízké rychlosti je třeba k dokonalému vyrovnávání koncentrací látek mezi intersticiální tekutinou a perfúzním roztokem v sondě. K vyrovnávání dochází na základě difuze látek podél svého koncentračního gradientu přes dialyzační membránu. Snáze přestupují látky malé molekulové hmotnosti a lipofilní. Malé molekuly vázané na bílkovinné nosiče procházejí obtížně, proto lze mikrodialýzou stanovit pouze koncentraci volných nevázaných látek. (18) K difuzi dochází oběma směry tedy i z kanyly do intersticia. Mikrodialyzát je shromažďován a následně analyzován nebo dochází přímo k on line analýze. (16, 20) Metodou intersticiální mikrodialýzy je měřena koncentrace látek v intersticiálním prostoru v těsné blízkosti sondy. Tento prostor byl podle některých studií vypočten na přibližně 100 mg tkáně. Intercelulární koncentrace se neměří. (19)

Skutečná koncentrace látek v extracelulárním prostoru nemůže být určena pouze z koncentrace látky v mikrodialyzátu, protože dochází k nedokonalému vyrovnání koncentrací látek mezi intersticiem a perfúzním roztokem v sondě. Pro tento odhad je třeba znát k přepočtu hodnotu tzv. recovery či extrakční frakci.(20) Rozlišujeme absolutní a relativní recovery. Nejčastěji uvádíme hodnotu relativní recovery v procentech vyjadřující poměr mezi koncentrací látky v mikrodialyzátu a v intersticiálním prostoru,  $\text{recovery (\%)} = 100 \times \text{koncentrace v dialyzátu} / \text{koncentrace v intersticiu}$ . Základní faktory, které ovlivňují hodnotu recovery jsou: délka a průměr membrány, rychlost perfuze, teplota prostředí, hodnota cut of v dialyzační membráně, fyzikální a chemické vlastnosti sledované látky, tkáňová rezistence, molekulární hmotnost látky, schopnost vazby na membránu sondy, pH prostředí a degradace látky v prostředí. (18, 22)

#### 2.4.2. Využití mikrodialýzy

Mikrodialýza se ukázala jako velmi nadějná metoda ve farmakokinetických a farmakodynamických studiích, protože dostatečné sérové koncentrace léčiva nejsou vždy spojeny s adekvátní klinickou odpovědí. Příčinou selhání léčby může být nedostatečná koncentrace látky v místě jeho působení. (2) Mikrodialýza již našla své uplatnění při stanovení tkáňových koncentrací antibakteriálních látek ve snaze o optimalizaci antiinfekční terapie a profylaxe, k určení tkáňové koncentrace chemoterapeutik v některých solidních nádorech, uplatnění našla i při studiu metabolismu mnoha endogenních a exogenních látek v tkáních živých organismů (21). Svalová a podkožní tkáň jsou pro svou přístupnost častým místem aplikace mikrodialyzační sondy. (22) Mikrodialýza je využitelná v intenzivní péči u neurochirurgicky nemocných k monitorování sekundární ischemie při poranění mozkové tkáně. V kardiologii se využívá mikrodialýzy pro minimální rozměry sondy dovolující bezpečnou aplikaci sondy do stěny srdeční komory a mezikomorového septa i během srdeční operace. V současné době probíhá mikrodialyzační studie tkáňových koncentrací profylakticky podávaného antibiotika během srdeční operace v mimotělním oběhu. Představuje bezpečnou metodu k získávání vzorku biologického materiálu z míst, která nejsou žádnou jinou metodou přístupná. (2)

### 3. CÍL

Cílem diplomové práce bylo:

- zavést a validovat metodu vysokoúčinné kapalinové chromatografie pro stanovení cefuroximu v plasmě a mikrodialyzátu
- ověřit použitelnost nové bioanalytické metody v klinické studii při profylaktickém podávání cefuroximu během kadiochirurgické operace u pacientů

## 4. EXPERIMENTÁLNÍ ČÁST

#### 4.1. Použité chemikálie, biologický materiál, pomůcky a přístroje

##### 4.1.1. Chemikálie

cefuroxime sodium salt (Sigma Aldrich, USA)

cefoxitin sodim salt (Sigma Aldrich, USA)

acetonitril CHROMASOLV pro HPLC, gradient grade (Sigma Alrich, USA)

octan amonný (Merck Darmstadt, Německo)

Ringerův roztok (Braun Melsungen AG, Německo)

dichlormethan pro chromatografii, LiChrosolv(R) stabilizovaný 20ppm (Merck Darmstadt, Německo)

voda čištěná reverzní osmózou (Millipore, USA)

##### 4.1.2. Biologický materiál

Směsná plasma od zdravých dárců testovaná jako negativní na přítomnost virů hepatitidy A, B a HIV, uchovávaná při teplotě – 70 °C. Vzorky pacientů uchovávané při teplotě – 70 °C, vzorky z mikrodialýzy uchovávané při teplotě – 70 °C.

##### 4.1.3. Pomůcky

laboratorní sklo (Simax, ČR)

odměrné baňky 10 ml, 1000 ml

kalibrované zkumavky

kádinky

borosilikátové zkumavky

automatické pipety digitální nastavitelné Finnpiettes (Labsystems, Finsko)

parafilm (American National Can, USA)

mikrozkumavky s víčkem

Microcon YM – 10 (Amicon, Millipore Corporation, USA)



membránový filtr SUPOR – 450 (47 mm, velikost pórů 0,45 µm, Gelman Sciences, USA)

membránový filtr PTFE (47 mm, velikost pórů 0,45 µm, Gelman Sciences, USA)

vialky a inzertky

#### 4.1.4. Přístroje

Separční modul 2695, PDA detektor 996, chromatografický manager EMPOWER (Waters, USA), Peltierův kolonový termostat Jet-Stream (Thermotechnic Products)

analytické váhy SARTORIUS (AG Gottingen, Německo)

ultrazvuková lázeň TRANSSONIC 420 (Elma, Německo)

filtrační zařízení (Supelco, USA)

laboratorní třepačka Reax 2 (Heidolph, Německo)

pH – metr PHM 93 (Radiometer, Dánsko)

laboratorní třepačka IKA VIBRAX basic (Janke a Kungel, Německo)

centrifuga BIOFUGE 15 R (Heraeus, Německo)

centrifuga MEGAFUGE 1.0 R (Heraeus, Německo)

## 4.2. Pracovní postup

### 4.2.1. Příprava roztoků

1.příprava zásobního roztoku standardu cefuroximu:  
rozpustili jsme 2 mg standardu cefuroximu ve 2 ml Ringrova roztoku

2.příprava zásobního roztoku vnitřního standardu cefoxitinu:  
rozpustili jsme 1 mg cefoxitinu v 10 ml Ringrova roztoku

Zásobní roztoky jsme připravovali vždy čerstvé.

### 4.2.2. Příprava kalibračních vzorků v Ringrově roztoku

Připravovali jsme pět kalibračních roztoků. Zásobní roztok cefuroximu jsme ředili 10x Ringrovým roztokem to odpovídá koncentraci 100 µg/ml tj.K5, dále jsme ředili Ringrovým roztokem na polovinu K4 - 50 µg/ml, K3 - 25 µg/ml, K2 - 12.5 µg/ml, K1 - 6.25 µg/ml. Do čtyř mikrozkušavek jsme pipetovali 50 µl Ringrova roztoku. Do čtvrté mikrozkušavky jsme připipetovali 50 µl 10x ředěného zásobního roztoku cefuroximu, zamíchali pomocí laboratorní třepačky a přepipetovali 50 µl do třetí mikrozkušavky. Takto jsme pokračovali až po první mikrozkušavku. Získali jsme tak řadu pěti kalibračních roztoků.

### 4.2.3. Příprava kalibračních roztoků v plasmě

Do mikrozkušavky jsme ke 100 µl zásobního roztoku cefuroximu napipetovali 900 µl blankové plasmy – koncentrace odpovídá 100 mg/l tj. K5. Do dalších čtyřech mikrozkušavek jsme napipetovali 500 µl blankové plasmy. Do čtvrté mikrozkušavky jsme připipetovali 500 µl K5, zamíchali pomocí laboratorní třepačky a přepipetovali 500 µl do třetí mikrozkušavky.

Takto jsme pokračovali až po první mikrozkušavku. Získali jsme tak řadu pěti kalibračních roztoků.

#### 4.2.4. Vlastní analýza vzorků z mikrodialýzy

Vzorky kalibrační i vlastní vzorky dialyzátů jsme pipetovali v objemu 20  $\mu$ l do mikrozkušavek a připipetovali jsme k nim 20  $\mu$ l na 1/3 ředěný vnitřní standard cefoxitinu. Vzorky jsme promíchali na laboratorní třepačce a odpipetovali do insertek. Nástřik na kolonu byl 20  $\mu$ l.

#### 4.2.5. Vazebnost cefuroximu na bílkoviny plasmy – metoda ultrafiltrace

Do kolonek MICROCON YM 10 jsme do nástavce umístěného ve zkumavce nad membránu pipetovali 500  $\mu$ l vzorku plasmy. Vzorky jsme uzavřeli víčkem a provedli jsme centrifugaci při 13000 ot./min. 25 minut při 20 °C. Do mikrozkušavek jsme odpipetovali 20  $\mu$ l ultrafiltrátu a připipetovali jsme k nim 20  $\mu$ l na 1/3 ředěný vnitřní standard cefoxitinu. Vzorky jsme promíchali na laboratorní třepačce a odpipetovali do insertek. Nástřik na kolonu byl 20  $\mu$ l.

#### 4.2.6. Extrakční postup u vzorků plasmy

K analýze jsme pipetovali do mikrozkušavek 500  $\mu$ l plasmy a 200  $\mu$ l roztoku vnitřního standardu cefoxitinu (neředěného). Přidali jsme 500  $\mu$ l acetonitrilu a pět minut jsme třepali na laboratorní třepačce. Potom jsme vzorky centrifugovali 10 minut při 13000 ot./min. při 4 °C. Do borosilikátových zkumavek jsme odpipetovali 850  $\mu$ l supernatantu, přidali jsme 7 ml dichlormetanu. Následovala ekvilibrace 10 minut v lednici. Potom jsme vzorky 10 minut třepali na laboratorní třepačce REAX 2. Dále jsme provedli centrifugaci 10 minut při 4 °C při 3500 ot./min. Po té jsme pipetovali 120  $\mu$ l horní vrstvy do insertek a na kolonu jsme aplikovali 20  $\mu$ l.

#### 4.2.7. Chromatografické podmínky

Chromatograf: Waters – Alliance, Separační modul 2695 s PDA detektorem 996, s Peltierovým kolonovým termostatem Jet – Stream, vybavený softwarem EMPOWER.

Kolona: Separace analytů se uskutečnila na koloně ASCENTIS Amide C16 5 $\mu$ m x 150mm (Supelco) s předkolonou Symmetry C 18 5 $\mu$ m 3,9 x 20mm (Waters).

Mobilní fáze: obsahovala 85% 20 mM octanu amonného (filtrovaného přes membránový filtr SUPOR) a 15 % acetonitrilu (filtrovaného přes membránový filtr PTFE).

Příprava pufru pro mobilní fázi: Navážili jsme 1,5416 g octanu amonného a rozpustili v 1 l vody z reverzní osmózy. Změřili jsme pH a pomocí ledové kyseliny octové jsme upravili pH na 5. Po té jsme pufr přefiltrovali pomocí filtračního zařízení přes membránový filtr SUPOR a před vlastní HPLC analýzou jsme pufr odzdušnili 20 minut v ultrazvukové lázni. Pufr jsme připravovali vždy čerstvý.

Další HPLC podmínky: Na kolonu se aplikovalo 20  $\mu$ l. Jednalo se o isokratickou separaci při tlaku 1300 Psi, teplotě kolony 30 °C, rychlosti průtoku mobilní fáze 0,8 ml/min a s teplotou v autosampleru 10 °C. Detektor diodového pole umožňoval snímání spekter v rozsahu 195 – 600 nm s rozlišením 1,2 nm. Cefuroxim jsme kvantifikovali při 254 nm.

### 4.3. Vyhodnocování výsledků

#### 4.3.1. Statistické výpočty

1. Výpočet směrodatné odchylky  $s_D$ :

$$s_D = \sqrt{\sum_{i=1}^n \frac{(x_i - \bar{x})^2}{n-1}}$$

n.....počet měření

$x_i$ .....naměřená hodnota

$\bar{x}$ .....průměrná hodnota

2. Výpočet relativní směrodatné odchylky  $rs_d$  (%) a variačního koeficientu  $C_v$  (%):

$$rs_D(C_v) = 100 s_D / \bar{x}$$

#### 4.3.2. Výpočet validačních parametrů

##### 4.3.2.1. Detekční limit (LOD)

Detekční limit je nejnižší detekovatelná koncentrace látky. Hledá se experimentálně. Analyzují se vzorky o známé koncentraci a určí se minimální koncentrace, při které ještě lze látku identifikovat.

Další postup vychází ze stanovení směrodatné odchylky šumu základní linie v místě, kde nejsou píky. Koncentrace odpovídající jejímu trojnásobku je detekční limit. (23, 24).

Detekční limit lze vypočítat dle rovnice:

$$\text{LOD} = 3 s_D / S$$

$s_D$ .....směrodatná odchylka šumu základní linie

$S$ .....směrnice kalibrační přímky závislosti výšky píku na koncentraci analytu

Detekční limit jsme zjišťovali dvěma postupy:

1. Snižovali jsme koncentraci cefuroximu v plasmě až po hodnotu 0,417 mg/l a u připravených vzorků jsme porovnali spektrum píku v oblasti retenčního času cefuroximu (obr.10a) se spektrem standardu (obr.10b). Nejnižší koncentraci při níž si spektra odpovídala, jsme označili jako detekční limit.
2. Druhý postup vycházel ze stanovení šumu základní linie při analýze slepých vzorků.

#### 4.3.2.2. Limit kvantifikace (LOQ)

Kvantifikační limit je nejnižší koncentrace látky stanovitelná s přijatelnou správností a přesností. Relativní směrodatná odchylka vyjadřující nejistotu stanovení analytu ve vzorku o koncentraci odpovídající kvantitativnímu limitu by neměla být větší než 10 % (25).

Kvantifikační limit může být také odhadnut jako koncentrace odpovídající desetinásobku směrodatné odchylky šumu základní linie (23,24) nebo vypočten dle rovnice:

$$\text{LOQ} = 10 s_D / S$$

$s_D$ .....směrodatná odchylka šumu základní linie

S.....směrnice kalibrační přímky závislosti výšky píku na koncentraci analytu

Kvantifikační limit jsme stanovili měřením relativní směrodatné odchylky.

Připravili jsme sestupnou řadu koncentrací stanovovaného analytu a na koncentračních úrovních blízkých detekčnímu limitu jsme provedli deset měření a vyjádřili parametry přesnosti a správnosti. Koncentraci cefuroximu, u níž  $r_{SD}$  nepřesáhla 10 % a hodnota výtěžnosti spadala do intervalu od 90 do 110 %, jsme označili jako kvantifikační limit.

#### 4.3.2.3. Linearita a rozsah kalibrační závislosti

Linearita je schopnost metody poskytovat výsledky úměrné koncentraci analytu ve vzorku. Je-li chromatografická metoda lineární, je kalibrační závislost výšek nebo ploch píků na koncentraci analytu ve vzorku, přímková.

Pracovní rozsah metody je koncentrační rozsah, v němž se dosahuje výsledků s přijatelnou spolehlivostí (správností a přesností).

Regresní analýzou, prováděnou obvykle metodou nejmenších čtverců, se vypočítá regresní přímka (23, 24, 25).

Připravili jsme deset kalibračních roztoků o koncentracích 196,9 mg/l, 98,45 mg/l, 49,23 mg/l, 24,61 mg/l, 12,31 mg/l, 6,16 mg/l, 3,08 mg/l, 1,53 mg/l, 0,769 mg/l. Lineární regresi v rozsahu koncentrací 0,769 mg/l – 196,9 mg/l jsme provedli metodou nejmenších čtverců pomocí programového vybavení chromatografu EMPOWER.

#### 4.3.2.4. Přesnost stanovení

Stanovovali jsme přesnost v sérii a mezi sériemi jako relativní směrodatnou odchylku.

Přesnost v sérii: Přesnost v sérii jsme měřili na devíti koncentračních úrovních (196,9 mg/l, 98,45 mg/l, 49,23 mg/l, 24,61 mg/l, 12,31 mg/l, 6,16 mg/l, 3,08 mg/l, 1,53 mg/l, 0,769 mg/l ).

Přesnost mezi sériemi: Přesnost mezi sériemi jsme měřili na devíti hladinách (196,9 mg/l, 98,45 mg/l, 49,23 mg/l, 24,61 mg/l, 12,31 mg/l, 6,16 mg/l, 3,08 mg/l, 1,53 mg/l, 0,769 mg/l).

Vzorky pro stanovení parametrů přesnosti a správnosti mezi sériemi jsme uchovávali při – 70 °C.

Výsledky jsme zpracovali formou tabulek (tab. 4., 5.)

#### 4.3.2.5. Správnost stanovení (accuracy)

Správnost stanovení jsme testovali pomocí výtěžnosti R u analýz vzorků se standardním přídatkem cefuroximu na devíti koncentračních úrovních (196,9 mg/l, 98,45 mg/l, 49,23 mg/l, 24,61 mg/l, 12,31 mg/l, 6,16 mg/l, 3,08 mg/l, 1,53 mg/l, 0,769 mg/l).

Pro výpočet výtěžnosti platí vztah:

$$R = 100x / x_D$$

x.....nalezená průměrná koncentrace látky ve vzorku

x<sub>D</sub>.....připravená koncentrace

Výsledky jsme zaznamenali do tabulky 4 a 5.

#### 4.3.2.6. Extrakční výtěžnost

Extrakční výtěžnost je charakteristika vyjadřující ztráty analytu při daném extrakčním postupu. Je definována jako poměr stanovovaného množství látky extrahované použitou metodou z plasmy a stanovovaného množství látky ve vodném roztoku (bez extrakce). Pokud byla prokázána



linearita kalibrační závislosti, lze extrakční výtěžnost posoudit na základě směrnice přímky kalibrace z plazmových extraktů a směrnice přímky kalibrace z čistých vodných roztoků analytů. Kalibrace musí být vyhodnoceny metodou vnějšího standardu. (11)

Připravili jsme dvě kalibrační řady o pěti koncentračních úrovních (12,31 mg/l, 6,16 mg/l, 3,08 mg/l, 1,53 mg/l, 0,769 mg/l) se třemi vzorky u každé z nich. První kalibrační řada byla tvořena roztoky cefuroximu v Ringrově roztoku a druhá vzorky připravenými přidáním cefuroximu do plasmu tak, aby byly výsledné koncentrace cefuroximu v Ringrově roztoku a v plasmě na jednotlivých koncentračních úrovních shodné. Vzorky cefuroximu v plasmě jsme podrobili extrakci.

Ve vzorcích obou kalibračních řad jsme metodou vnějšího standardu vypočítali extrakční výtěžnost cefuroximu pro každou koncentrační úroveň z hodnot ploch píků (tab. 6) dle vztahu:

$$R=100a / a' (\%)$$

a.....průměrná plocha píku látky po extrakci

a'.....průměrná plocha píku látky ve vzorcích bez extrakce

Výpočtem dle stejného vztahu jsme zjistili extrakční výtěžnost i pro vnitřní standard na jedné koncentrační úrovni (tab. 7)

Provedli jsme lineární regresi a získali tak dvě kalibrační přímky (pro vzorky po extrakci a bez extrakce) vyjadřující závislost ploch píků na koncentraci cefuroximu (obr.12, 13). Výtěžnost extrakčního postupu jsme hodnotili na základě směrnice těchto kalibračních přímek. Její hodnotu jsme vypočítali ze vztahu (11):

$$R= 100s_p / s_v$$

s<sub>p</sub>.....směrnice kalibrační přímky vzorků po extrakci

s<sub>v</sub>.....směrnice kalibrační přímky v ringrově roztoku

#### 4.3.2.7. Selektivita

Selektivita je schopnost metody poskytovat správné a přesné výsledky v přítomnosti jiných analytů a složek matrice. Předpokládá se však, že měření bývá doprovázeno systematickou chybou (25).

Nejčastěji se selektivita určuje porovnáním výsledků analýzy vzorků s čistým analytem a vzorků s rušivými složkami (24)

Možnost vlivu interferujících píků z plasmy jsme vyloučili analýzou směsné plasmy bez přídatku cefuroximu a vnitřního standardu (obr. 7, 8).

#### 4.3.3. Aplikace metody v klinické studii

Měřili jsme hladiny cefuroximu v plasmě a mikro dialyzátu u nemocných indikovaných k plánované srdeční operaci – revaskularizaci nebo chlopenní náhradě, kteří byli zařazeni do výzkumu (výzkumný záměr FN MZO 00179906, schváleno Etickou komisí FN HK).

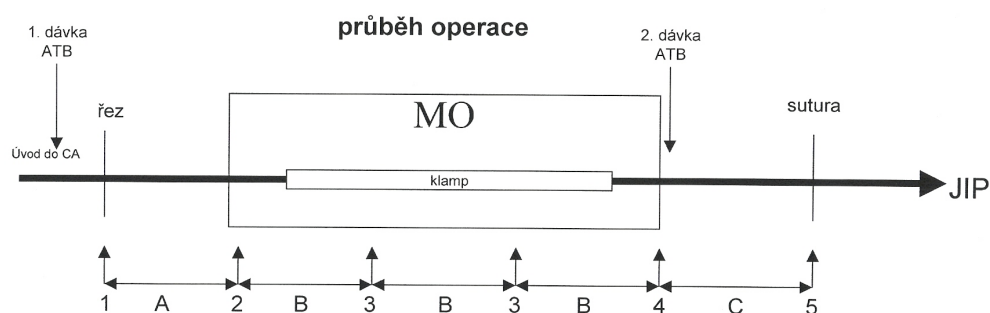
Po úvodu do celkové anestezie se za sterilních podmínek zavedla mikro dialyzační sonda do levého *musculus deltoideus*. V pravidelných intervalech se odebírali vzorky mikro dialyzátu získaného z periferní tkáně. V daných intervalech se odebírali vzorky krve k určení celkové a volné koncentrace antibiotika v plasmě. V první fázi výzkumu se odběry prováděli v průběhu operace, v další fázi výzkumu se prováděli odběry v průběhu operace a v časném pooperačním období.

Vzorky jsme uchovávali při – 70 °C a snažili jsme se je co nejrychleji změřit.

Schéma odběru vzorku uvádí obr. 4.

Obr. 4.

Intervaly odběrů :



#### Odběry krve

- 1 – řez kůže
- 2 – začátek MO
- 3 – po 30 min. během MO
- 4 – konec MO
- 5 – sutura kůže

#### Odběry mikro dialyzátů

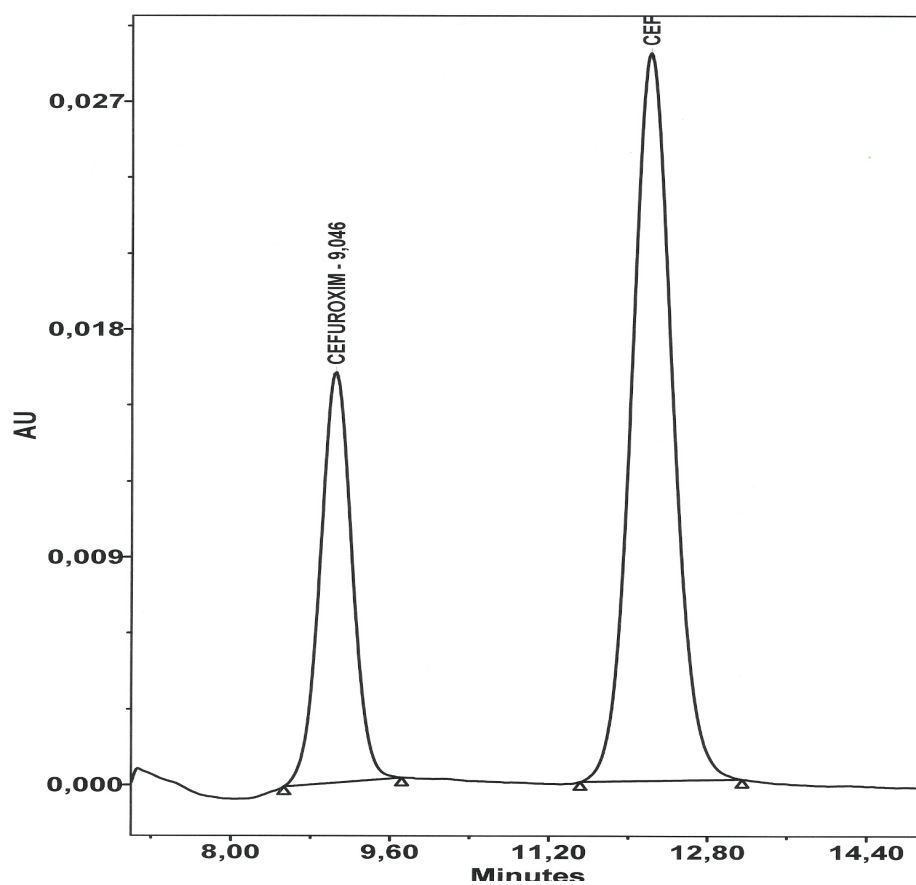
- A – před MO
- B – po 30 min. během MO
- C – po MO

## 5. VÝSLEDKY

## 5.1.Chromatografické záznamy

Obr.5. Chromatografický záznam extraktu s obsahem cefuroximu (12,23 mg/l) a vnitřního standardu cefoxitinu (42,72 mg/l)

Rychlost průtoku mobilní fáze (15 % acetonitrilu, 85 % 20 mM octanu amonného o pH 5) 0,8 ml/min, vlnová délka 254 nm, nástřik 20 ul.

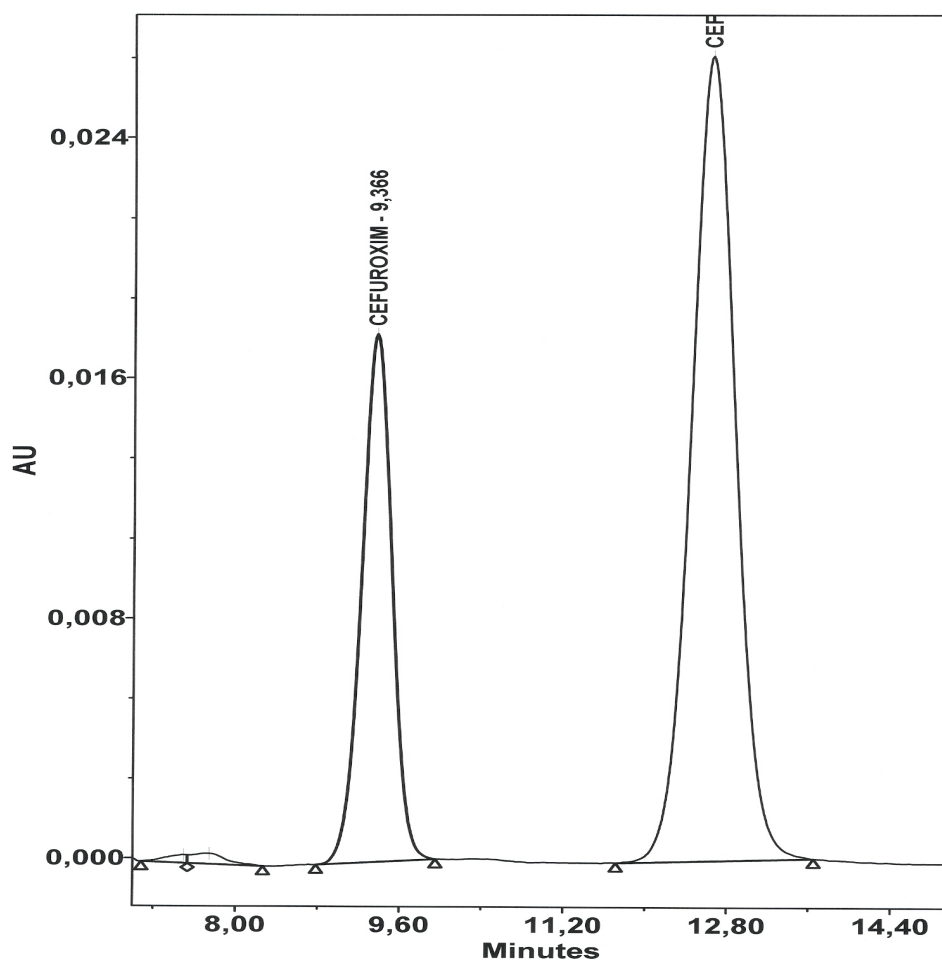


Retenční čas  $t_R$  cefuroximu: 9,046 min

Retenční čas  $t_R$  cefoxitinu: 12,214 min

Obr.6. Chromatografický záznam u mikrodialyzátu s obsahem cefuroximu (12,616 mg/l) a vnitřního standardu cefoxitinu (42,720 mg/l)

Rychlost průtoku mobilní fáze (15 % acetonitrilu, 85 % 20 mM octanu amonného o pH 5) 0,8 ml/min, vlnová délka 254 nm, nástřik 20 ul.

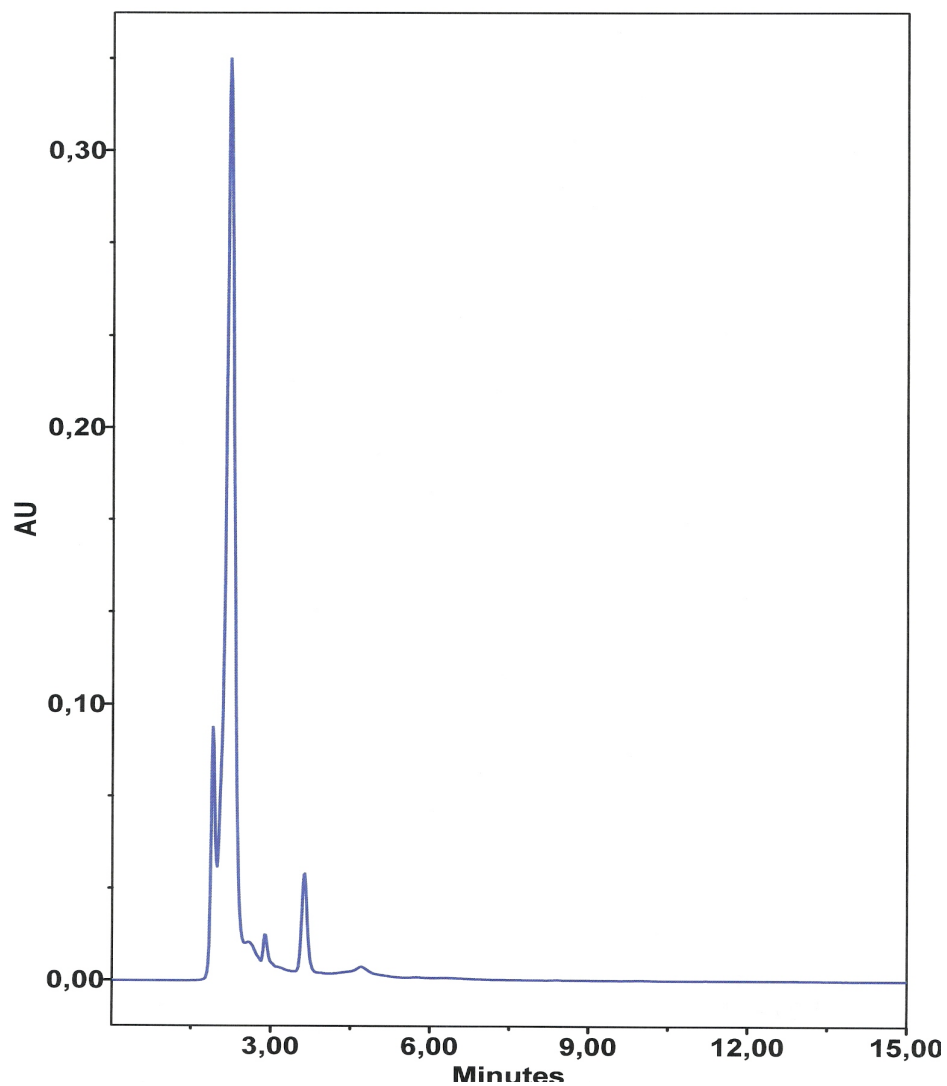


Retenční čas  $t_R$  cefuroximu: 9,366 min.

Retenční čas  $t_R$  cefoxitinu: 12,648 min.

Obr.7. Chromatografický záznam extraktu plasmy bez přítomnosti cefuroximu a vnitřního standardu cefoxitinu

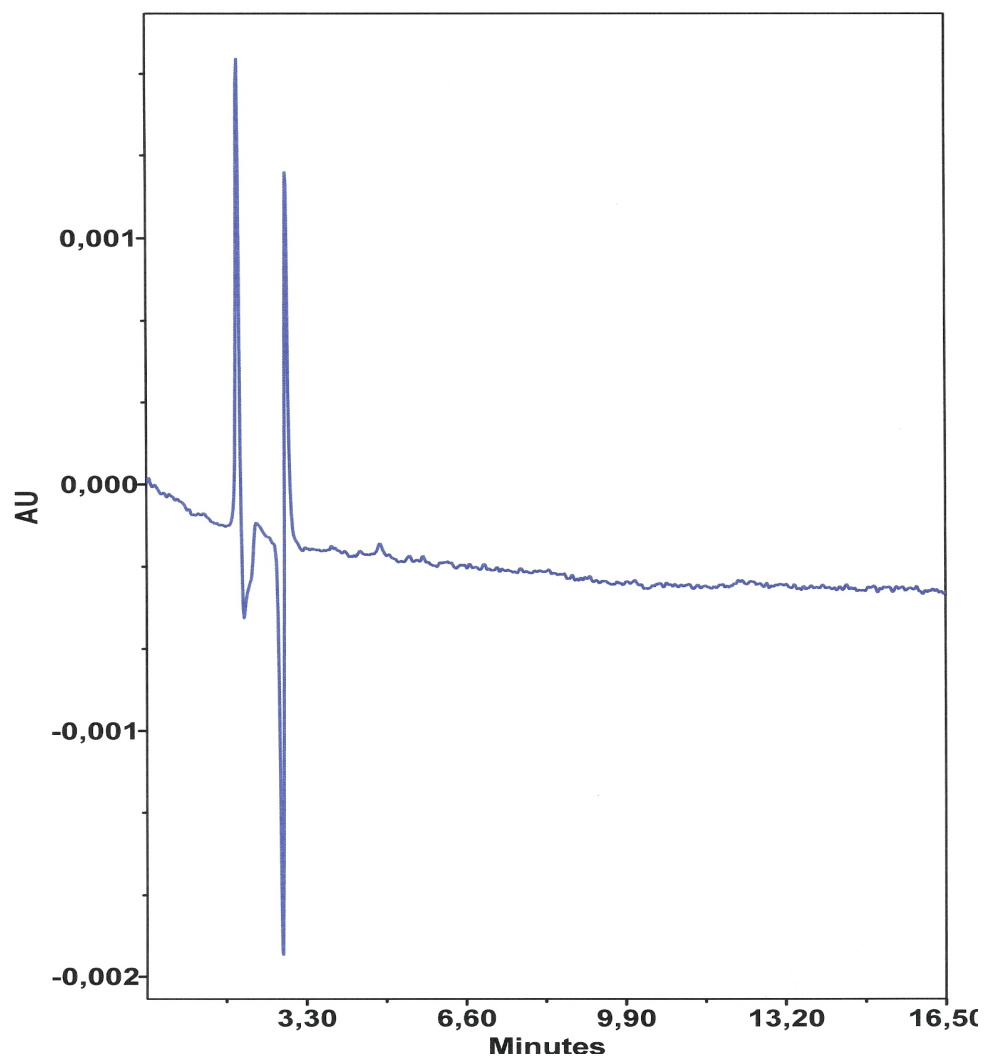
Rychlost průtoku mobilní fáze (15 % acetonitrilu, 85 % 20 mM octanu amonného o pH 5) 0,8 ml/min, vlnová délka 254 nm, nástřik 20 ul.



Chromatogram dokládá nepřítomnost interferujících komponent.

Obr.8. Chromatografický záznam mikrodialyzátu (Ringrova roztoku) bez přítomnosti cefuroximu a vnitřního standardu cefoxitinu

Rychlost průtoku mobilní fáze (15 % acetonitrilu, 85 % 20 mM octanu amonného o pH 5) 0,8 ml/min, vlnová délka 254 nm, nástřik 20 ul.



Chromatogram dokládá nepřítomnost interferujících komponent.



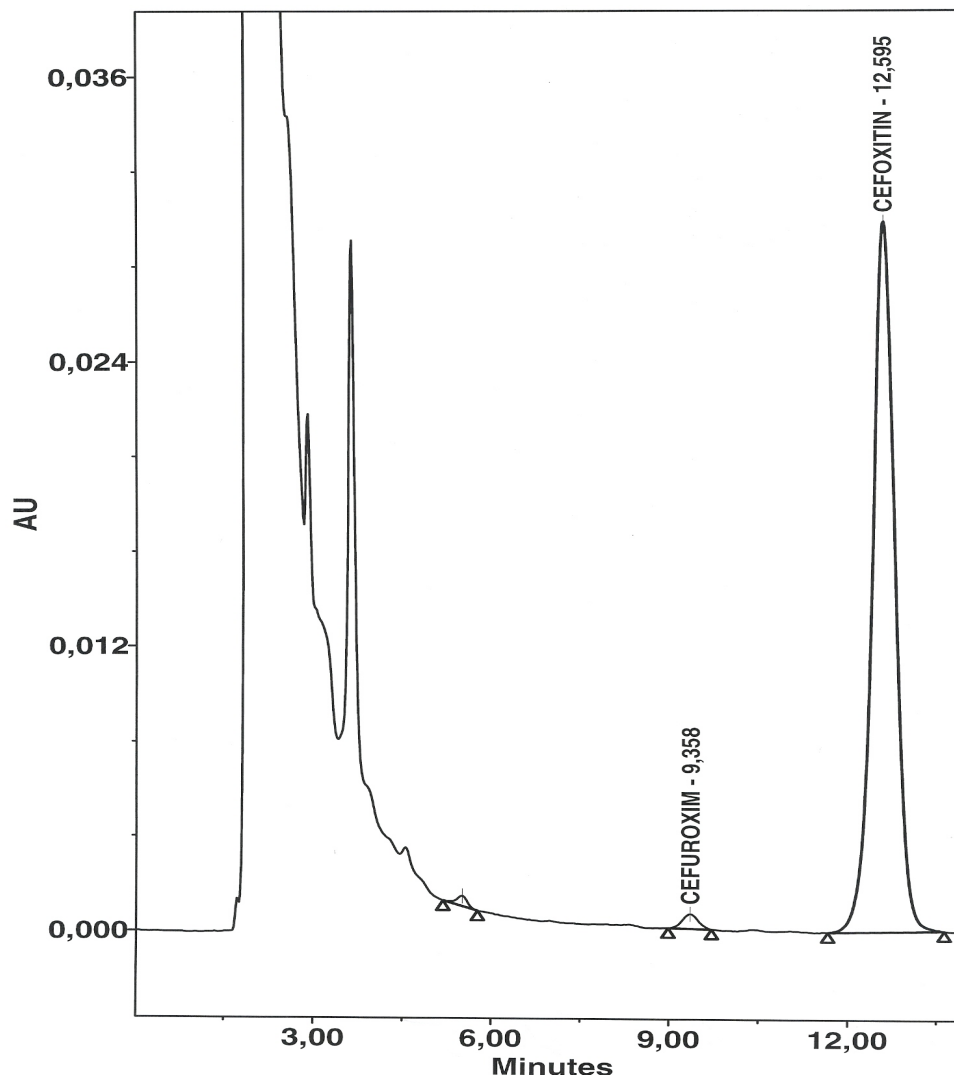
## 5.2. Validační parametry

### 5.2.1. Detekční limit LOD

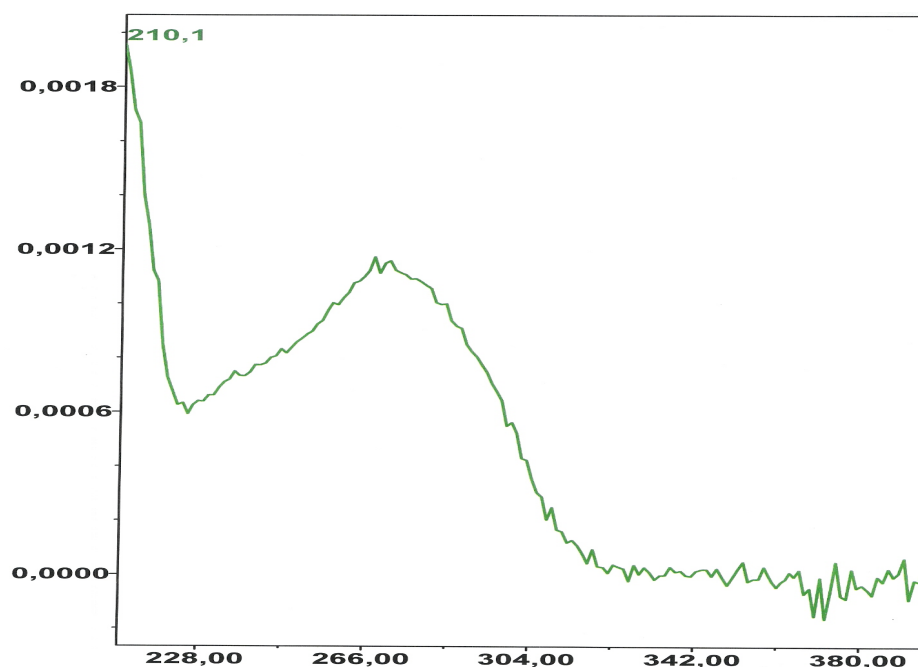
1. Nejnižší koncentrace cefuroximu, při níž spektrum odpovídá spektru standardu, je 0,417 mg/l.

Obr.9 Chromatogram extraktu vzorku obsahující cefuroxim v koncentraci 0,417 mg/l (retenční čas 9,358 min.) a vnitřní standard v koncentraci 40,40 mg/l (retenční čas 12,595 min.)

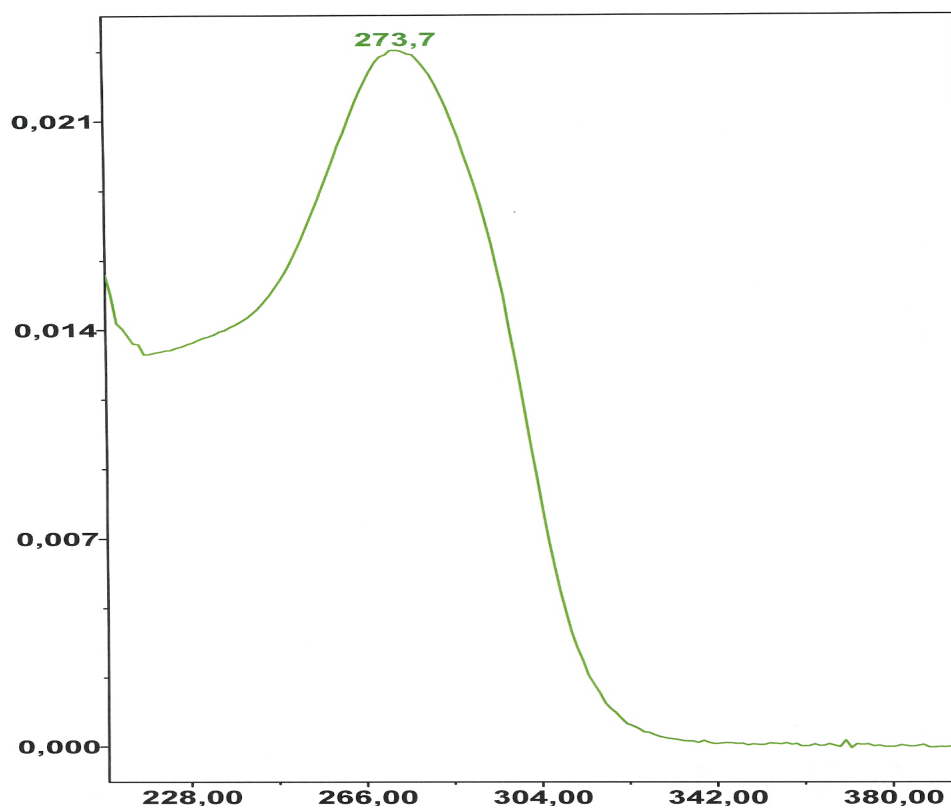
Rychlost průtoku mobilní fáze (15 % acetonitrilu, 85 % 20 mM octanu amonného o pH 5) 0,8 ml/min, vlnová délka 254 nm, nástřik 20 ul.



Obr.10a. Spektrum cefuroximu (chromatogram obr.9)



Obr.10b. Spektrum standardu cefuroximu



Tab.2. Směrodatná odchylka šumu základní linie v oblasti retenčního času cefuroximu u sedmi slepých vzorků

<b>č.vzorku</b>	<b><math>S_D</math> (mAU)</b>
1	0,000207
2	0,000200
3	0,000201
4	0,000210
5	0,000198
6	0,000194
7	0,000191
průměr	0,0002001

2. Stanovení detekčního limitu ze šumu základní linie při analýze slepých vzorků:

$$\text{LOD} = s_D \times 3 / S$$

$$\text{LOD} = 0,0002001 \times 3 / 1,4395 = 0,417 \text{ mg/l}$$

$s_D$ .....směrodatná odchylka šumu základní linie (tab.2)

$S$ .....směrnice přímkové kalibrační závislosti ploch píků cefuroximu na koncentraci

### 5.2.2.Kvantifikační limit LOQ

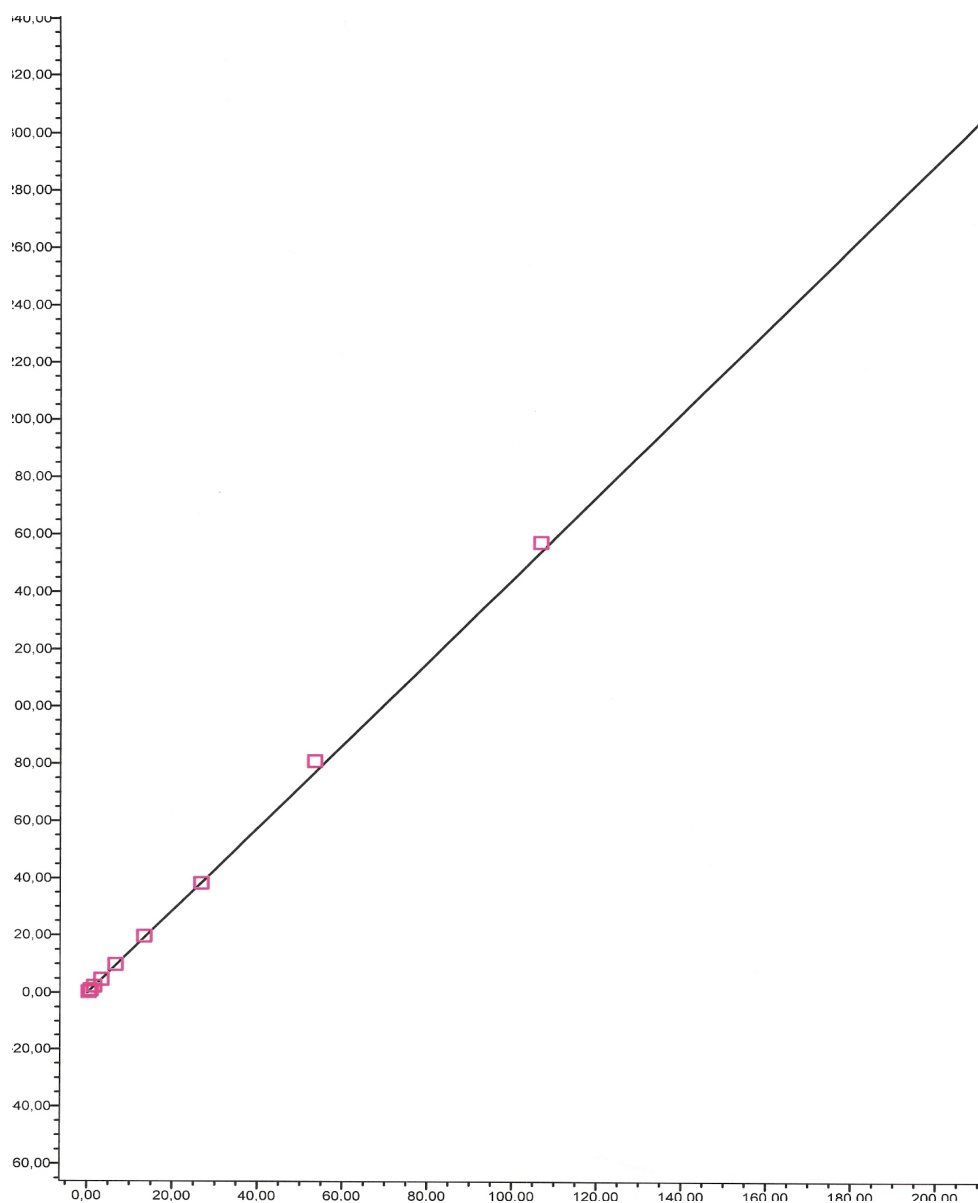
Nejnižší koncentrace cefuroximu ve vzorku stanovitelná s přijatelnou přesností a správností je 0,769 mg/l ( $r_{SD} = 3,51 \%$ ,  $R = 98,31 \%$ ).

Tab. 3.

<b>Kalibrační úroveň</b>	<b>Teort. konc. (mg/l)</b>	<b>Naměřené konc. (mg/l)</b>	<b>Průměr (mg/l)</b>	<b><math>S_D</math> (mg/l)</b>	<b>Přesnost <math>r_{SD}</math> (%)</b>	<b>Správnost R (%)</b>
1	0,769	0,782	0,756	0,027	3,51	98,31
		0,739				
		0,734				
		0,718				
		0,784				
		0,760				
		0,789				
		0,744				

### 5.2.3. Linearita kalibrační závislosti a pracovní rozsah

Obr.11. Lineární závislost mezi poměrem koncentrací cefuroximu a vnitřního standardu cefoxitinu ve vzorku a poměrem ploch píků cefuroximu a vnitřního standardu cefoxitinu.



Pracovní rozsah daný kvantifikačním limitem a nejvyšším kalibračním bodem: 0,769 mg/l – 196,9 mg/l

#### 5.2.4. Parametry přesnosti a správnosti

Tab.4. Přesnost a správnost metody stanovení cefuroximu na devíti koncentračních úrovních v sérii:

<b>Kalibrační úroveň</b>	<b>Teort. konc. (mg/l)</b>	<b>Naměřené konc. (mg/l)</b>	<b>Průměr (mg/l)</b>	<b>S<sub>D</sub> (mg/l)</b>	<b>Přesnost rs<sub>D</sub> (%)</b>	<b>Správnost R (%)</b>
1	0,769	0,782	0,756	0,027	3,51	98,31
		0,739				
		0,734				
		0,718				
		0,784				
		0,760				
		0,789				
		0,744				
2	1,538	1,579	1,555	0,028	1,81	101,13
		1,535				
		1,523				
		1,531				
		1,570				
		1,597				
		1,532				
		1,576				
3	3,077	3,055	3,085	0,048	1,56	100,24
		2,988				
		3,075				
		3,119				
		3,086				
		3,113				
		3,094				
		3,146				
4	6,153	6,127	6,197	0,146	2,35	100,71
		5,983				
		6,068				
		6,240				
		6,194				
		6,191				
		6,451				
		6,319				
5	12,306	12,218	12,354	0,219	1,77	100,39

<b>Kalibrační úroveň</b>	<b>Teort. konc. (mg/l)</b>	<b>Naměřené konc. (mg/l)</b>	<b>Průměr (mg/l)</b>	<b>S<sub>D</sub> (mg/l)</b>	<b>Přesnost rs<sub>D</sub> (%)</b>	<b>Správnost R (%)</b>
		12,052				
		12,341				
		12,550				
		12,507				
		12,276				
		12,711				
		12,177				
6	24,613	25,063	24,322	0,575	2,36	98,82
		25,016				
		24,777				
		24,323				
		23,812				
		24,167				
		23,560				
		23,681				
7	49,225	49,991	49,085	0,841	1,713	99,72
		49,385				
		49,335				
		49,970				
		49,661				
		48,093				
		48,012				
		48,232				
8	98,450	99,796	99,742	1,314	1,317	101,31
		97,971				
		99,431				
		100,709				
		101,417				
		97,726				
		100,626				
		100,256				
9	196,90	199,843	198,42	2,155	1,086	100,77
		195,370				
		200,528				
		198,153				
		198,395				
		199,580				
		200,428				
		195,060				

Tab.5. Přesnost a správnost metody stanovení cefuroximu na devíti koncentračních úrovních mezi sériemi:

<b>Kalibrační úroveň</b>	<b>Teort. konc. (mg/l)</b>	<b>Naměřené konc. (mg/l)</b>	<b>Průměr (mg/l)</b>	<b>S<sub>D</sub> (mg/l)</b>	<b>Přesnost r<sub>S<sub>D</sub></sub> (%)</b>	<b>Správnost R (%)</b>
1	0,769	0,731	0,733	0,031	4,25	95,36
		0,789				
		0,740				
		0,730				
		0,712				
		0,691				
		0,673				
		0,669				
		0,698				
2	1,538	1,444	1,448	0,043	2,99	94,13
		1,520				
		1,423				
		1,435				
		1,470				
		1,419				
		1,428				
		1,413				
		1,394				
3	3,077	2,820	2,911	0,082	2,8	94,60
		3,044				
		2,927				
		2,831				
		2,906				
		2,937				
		2,871				
		2,865				
		2,861				
4	6,153	6,096	6,005	0,134	2,23	97,59
		6,179				
		5,957				
		5,793				
		5,957				
		6,045				
		5,951				
		5,931				



<b>Kalibrační úroveň</b>	<b>Teort. konc. (mg/l)</b>	<b>Naměřené konc. (mg/l)</b>	<b>Průměr (mg/l)</b>	<b>S<sub>D</sub> (mg/l)</b>	<b>Přesnost rs<sub>D</sub> (%)</b>	<b>Správnost R (%)</b>
		5,861				
5	12,306	12,201	12,185	0.246	2,02	99,02
		12,478				
		12,327				
		11,789				
		12,294				
		12,022				
		11,843				
		11,894				
		11,775				
6	24,613	25,202	24,910	0,296	1,19	101,22
		25,250				
		24,578				
		24,562				
		24,981				
		24,899				
		24,452				
		24,175				
		24,173				
7	49,225	51,089	50,166	0,959	1,91	101,91
		51,254				
		48,738				
		50,232				
		50,236				
		49,449				
		48,702				
		48,517				
		47,669				
8	98,450	101,952	101,191	1,327	1,31	102,78
		103,067				
		99,737				
		101,436				
		101,347				
		99,609				
		98,530				
		98,199				
		96,148				
9	196,9	199,508	200,37	4,103	2,05	101,76
		203,218				

<b>Kalibrační úroveň</b>	<b>Teort. konc. (mg/l)</b>	<b>Naměřené konc. (mg/l)</b>	<b>Průměr (mg/l)</b>	<b>S<sub>D</sub> (mg/l)</b>	<b>Přesnost rs<sub>D</sub> (%)</b>	<b>Správnost R (%)</b>
		197,977				
		203,028				
		204,081				
		193,717				
		193,573				
		190,576				
		192,537				

### 5.2.5.Extrakční výtěžnost metody pro cefuroxim a vnitřní standard

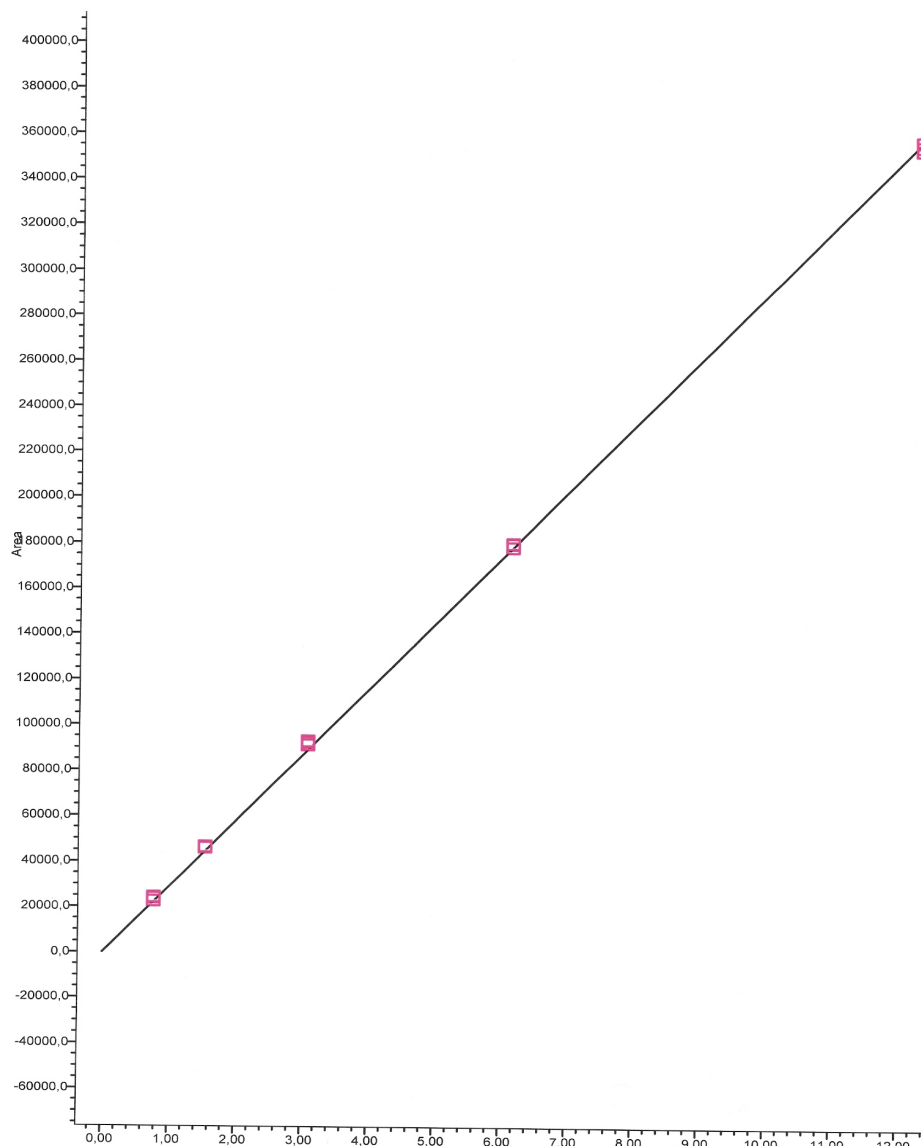
Tab. 6. Výtěžnost extrakčního postupu pro cefuroxim na pěti koncentračních úrovních

<i>Kalibrační úroveň(počet měření n)</i>	<i>Deklarovaná koncentrace mg/l</i>	<i>Průměrná plocha píku cefuroximu bez extrakce (mAU)</i>	<i>Průměrná plocha píku cefuroximu po extrakci (mAU)</i>	<i>Extrakční výtěžnost (%)</i>
1. (3)	12,31	361204	353019	97,73
2. (3)	24,61	721782	711793	98,62
3. (3)	49,23	1433246	1424829	99,41
4. (3)	98,45	2877626	2850375	99,05
5. (3)	196,9	5744826	5698666	99,20

Tab.7. Výtěžnost extrakčního postupu pro vnitřní standard cefoxitin

<i>Konc. vnitřního standardu (mg/l)</i>	<i>Průměrná plocha píku bez extrakce (mAU)n=5</i>	<i>Průměrná plocha píku po extrakci (mAU)n=5</i>	<i>Extrakční výtěžnost (%)</i>
42,72	806755	804725	99,75

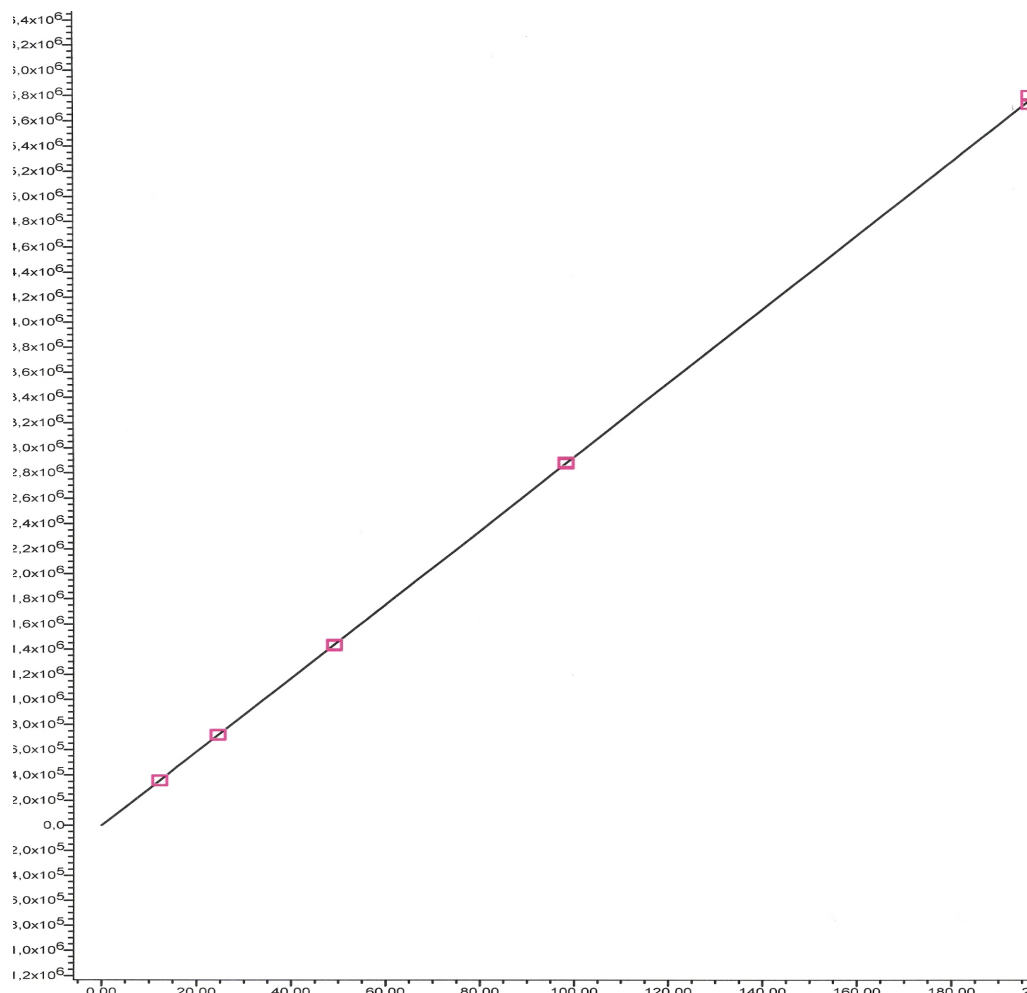
Obr. 12. Graf kalibrační závislosti ploch píků na koncentraci cefuroximu (mg/l) ve vzorcích po extrakci (n=3)



Směrnice přímky  $S_P$ :  $2,901236e+004$

$R^2 = 0,999619$

Obr. 13. Graf kalibrační závislosti ploch píků na koncentraci cefuroximu (mg/l) v Ringově roztoku (n=3), bez extrakce



Směrnice přímky  $S_V$ :  $2,92e+004$

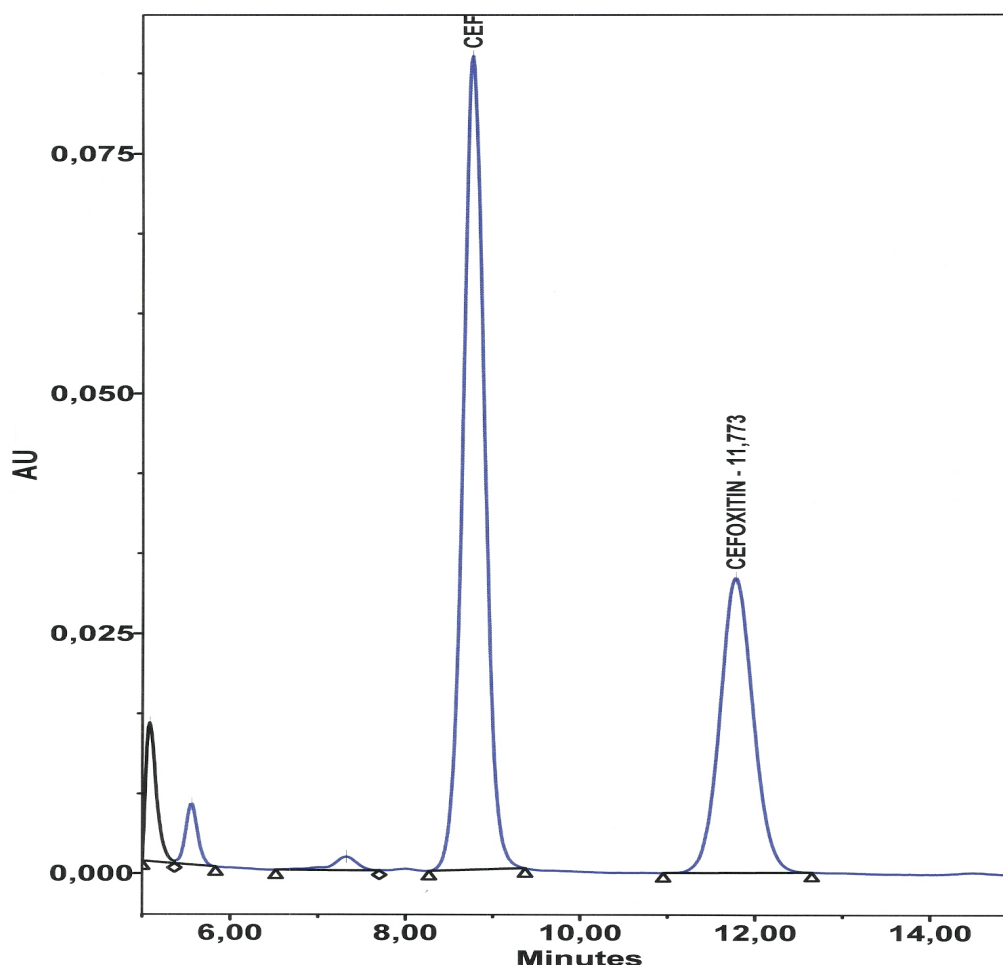
$R^2 = 0,999944$

Výpočet extrakční výtěžnosti:

$R = 100 S_P/S_V = 100 \times 29012,36/29200 = 99,36 \%$

### 5.3. Identita a čistota píku cefuroximu a vnitřního standardu

Obr.14. Chromatogram vzorku pacienta s koncentrací cefuroximu 50,131 mg/l a vnitřního standardu cefoxitinu 40,00 mg/l. Rychlost průtoku mobilní fáze (15 % acetonitrilu, 85 % 20 mM octanu amonného o pH 5) 0,8 ml/min, vlnová délka 254 nm, nástřik 20 ul.



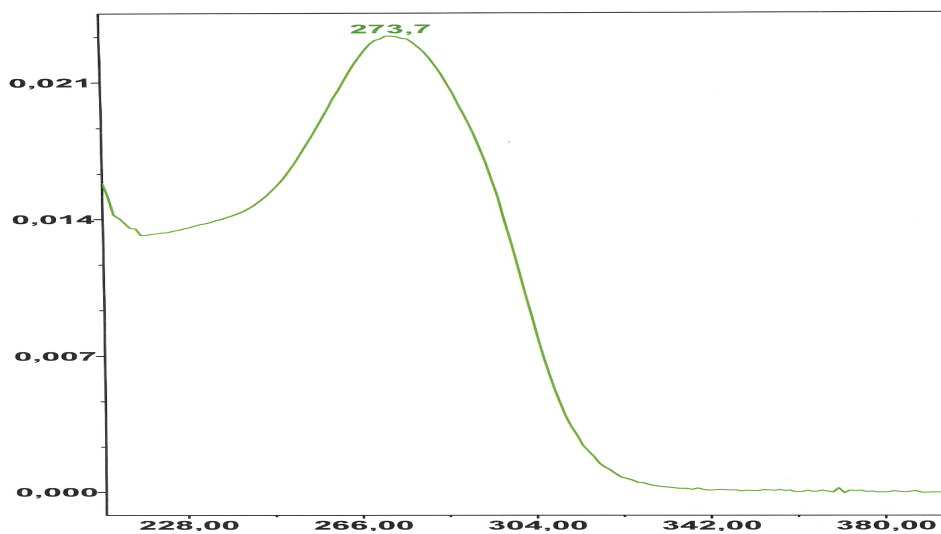
Retenční čas  $t_R$  cefuroximu: 8,765 min.

Retenční čas  $t_R$  cefoxitinu: 11,773 min.

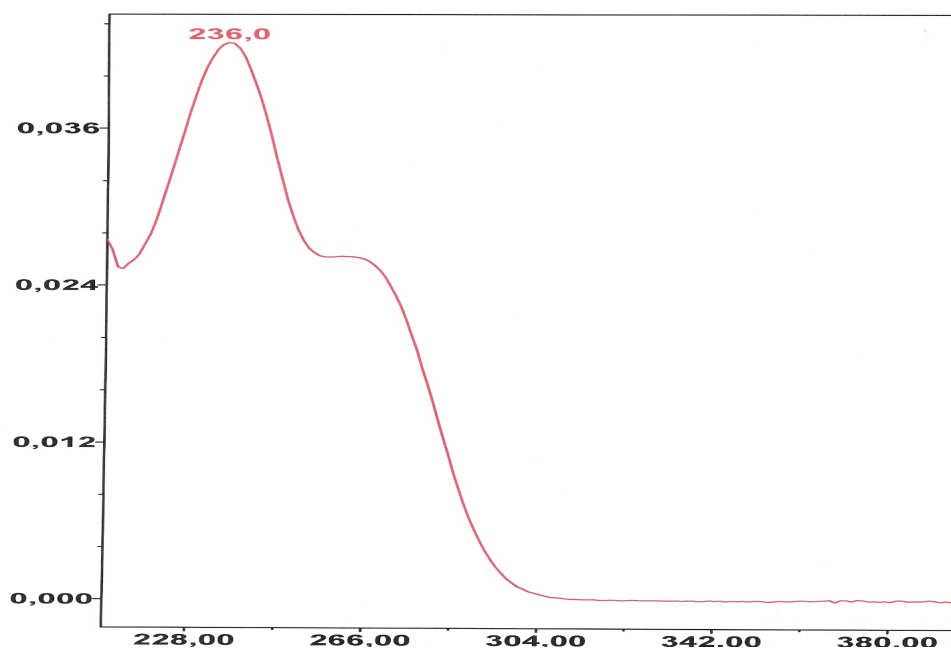
Tab.8.Spektrální analýza u vzorku pacienta (chromatogram uvádí obr.14)

<i>Látka</i>	<i>Retenční čas</i>	<i>Faktor čistoty</i>		<i>Identita píku</i>	
		<i>prahová hodnota</i>	<i>hodnota píku</i>	<i>prahová hodnota</i>	<i>hodnota píku</i>
cefuroxim	8,765	0,246	0,090	1,032	0,037
cefoxitin	11,773	0,435	0,313	1,142	0,157

Obr.15 Spektrum cefuroximu



Obr.16 Spektrum cefoxitinu

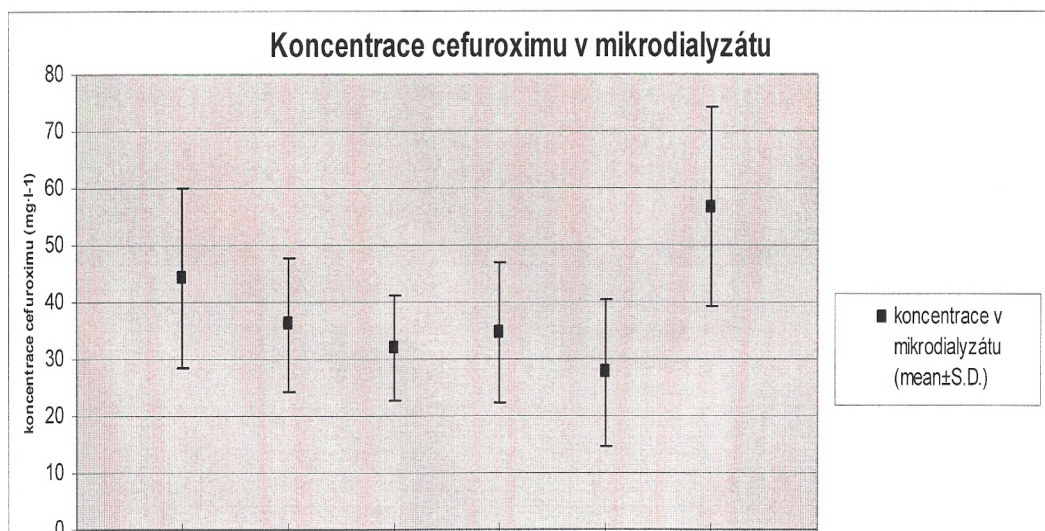


## 5.4. Aplikace analytické metody při klinické studii

### 5.4.1. Koncentrace cefuroximu v mikrodialyzátu (mg/l)

Obr.17

	1- předMO	2 - MO030	3 - MO3060	4 - MO6090	5 - MO90120	6 - poMO
průměr	44,36	36,1	31,92	34,6	27,57	56,69
SD	15,78	11,68	9,37	12,39	12,98	17,6

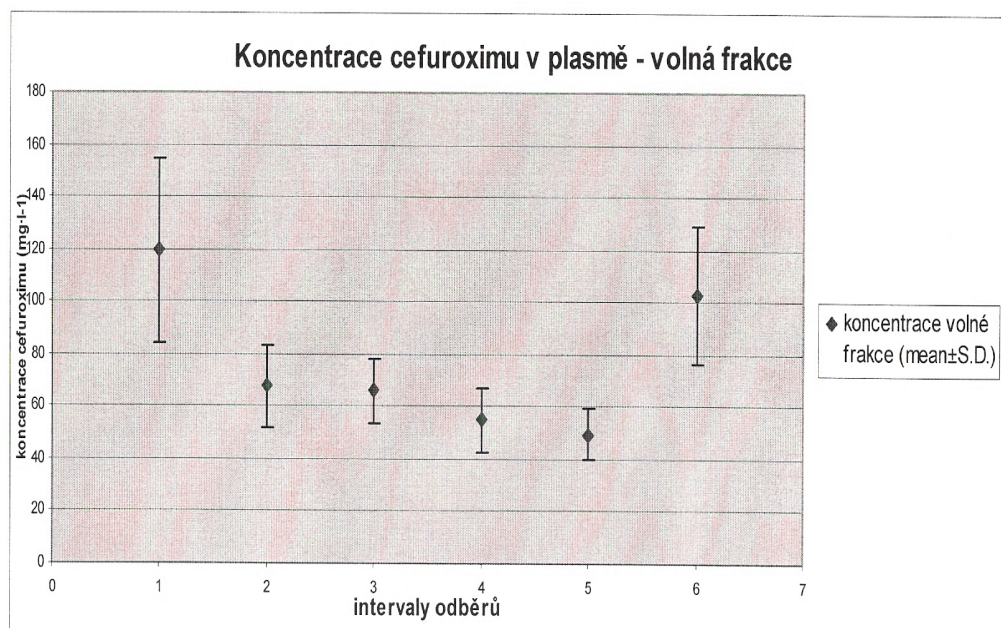




### 5.4.2. Koncentrace cefuroximu v plasmě – volná frakce (mg/l)

Obr.18

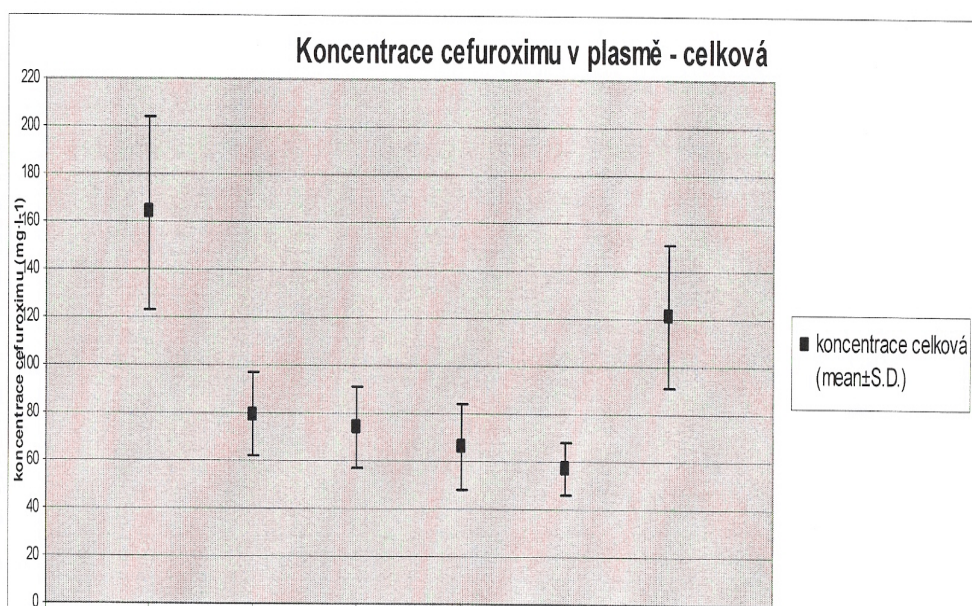
	1 - řez v.	2 - MO zač.	3 - MO 30 v.	4 - MO 60 v.	5 - MO 90 v.	6 - po MO sut. v.
průměr	119,49	67,79	65,98	54,83	49,58	102,63
SD	35,29	15,58	12,53	12,22	9,84	26,01



### 5.4.3. Koncentrace cefuroximu v plasmě - celková (mg/l)

Obr.19

	1 - řez c.	2 - MO zač. c.	3 - MO 30 c	4 - MO 60 c.	5 - MO 90 c.	6 - po MO sut. c.
průměr	163,52	79,34	73,7	66,07	57,04	120,72
SD	40,17	17,45	16,81	18,32	10,9	29,99



## 6. DISKUSE

Při optimalizaci analytické metody se hledaly takové podmínky, aby nová bioanalytická metoda svými parametry vyhovovala účelu klinické studie, pro kterou byla vyvinuta.

Jak dokládají chromatografické záznamy (obr.5, obr.6), doba analýzy na HPLC nepřesáhla 15 minut. Retenční doba polárnějšího cefuroximu odpovídala 9,05 min. a vnitřního standardu cefoxitinu 12,4 min. Oba píky byly naprosto separované a symetrické. Vzhledem k tomu, že analyt cefuroxim měl být kvantifikován v plasmě i v mikrodialyzátu, jehož prostředí vytvářel Ringrův roztok, bylo nezbytné, aby v oblasti retenčních časů cefuroximu i cefoxitinu nedocházelo k eluci interferujících endogenních komponent. Chromatografické záznamy extraktů blankové plasmy (obr.7) i Ringrova roztoku (obr.8) nepřítomnost interference potvrzují.

Validačními experimenty se zjistily parametry validace, které potvrdily použitelnost bioanalytické metody v klinické studii.

Parametry limitu detekce i kvantifikace se pohybovaly v koncentracích, které byly mnohonásobně nižší než dosahované v klinické studii. Limit detekce vypočítaný ze směrodatné odchylky šumu detektoru u slepých vzorků (tab.2), bylo možno doložit i chromatografickým záznamem extraktu plasmy s odpovídající koncentrací 0,417 mg/l ceuroximu (obr.9) a charakteristickým průběhem spektra cefuroximu s absorpčním maximem 273nm (obr.10a, 10b).

Kvantifikační limit odvozený na základě koncentrace cefuroximu ve vzorku 0,769 mg/l, kterou bylo možno stanovit s požadovanou přesností a správností, dokládá tabulka 3.

V pracovním rozsahu daném limitem kvantifikace a nejvyšším kalibračním bodem tj. 0,769 – 196,9 mg/l, byla lineární závislost mezi poměrem ploch pík cefuroximu a cefoxitinu a mezi poměrem koncentrací obou analytů (obr.11).

Parametry přesnosti a správnosti se ověřovaly na devíti koncentračních úrovních v sérii i mezi sériemi. Přesnost vyjádřená relativní směrodatnou odchylkou byla v rozmezí hodnot 1,086 % až 4,25 % a

nepřekročila limit 10 % (tab.4 a tab.5). Správnost vyjádřená jako výtěžnost (recovery) byla v rozmezí 94,13 % až 102,78 %.

Parametry extrakční výtěžnosti metody přesahující u cefuroximu i cefoxitinu 90 % dokládají, že podmínky extrakce (tj. extrakční prostředí – dichlormetan) jsou optimální (tab.6 a tab.7). Shodné závěry uvádí i výpočet extrakční výtěžnosti ze směrnice externí kalibrační závislosti vzorků bez extrakce a vzorků po extrakci (obr.12 a obr.13).

U vzorku pacienta obsahujícího cefuroxim a cefoxitin (obr.14) detektor diodového pole umožnil porovnání spektra cefuroximu (cefoxitinu) se spektrem standardu v knihovně spekter (tab.8, obr.15, obr.16). Výpočet faktoru čistoty (tab.8) dokládá specifitu metody spolu s analýzou blankových plasmatických (mikrodialyzačních) vzorků.

Nová bioanalytická metoda pro stanovení cefuroximu byla aplikována v klinické studii u pacientů při kardiochirurgické operaci.

Koncentrace cefuroximu se měnila paralelně v plasmě a ve vzorcích odebraných technikou mikrodialýzy (obr.17 a obr.19). Volný podíl léčiva v plasmě se při mimotělním oběhu zvyšoval (obr.18) vzhledem k poklesu koncentrací celkového proteinu a albuminu. V další části klinické studie bude HPLC metoda pro stanovení cefuroximu použita ke stanovení „ recovery „ mikrodialyzační techniky, aby bylo možno odhadnout koncentraci cefuroximu v intersticiální tkáni, a tak určit, zda je překročena minimální inhibiční koncentrace pro nejrizikovější patogeny při užívaném schématu profylaktického podávání antibiotika.

## 7. ZÁVĚR

Metoda HPLC s UV detekcí pro stanovení cefuroximu v plasmě a mikrodialyzátu byla optimalizována. Validační parametry potvrdily, že metoda je dostatečně citlivá, má vyhovující reprodukovatelnost i pracovní rozsah.

Metoda byla použita v předběžné klinické mikrodialyzační studii u pacientů, při kardiochirurgickém výkonu a nebyly zaznamenány žádné interference.

## 8. CITACE



1. Bertman, G. Katzung: Základní a klinická farmakologie, 1992, s. 660 – 666
2. Pojar, M., Mandřák, J.: Intersticiální mikrodialýza v klinické a experimentální medicíně, Časopis lékařů českých, 145, 2006, č.10, s.766 – 769
3. The Merck Index. 12. vyd. Merck Research Laboratories 1996, s.324 - 325
4. Rossel, M. T., Peleman, R., Van Hoorebeke, H.: Measurement of cefuroxime in human bronchoalveolar lavage fluid by high – performance liquid chromatography after solid phase extraction, Journal of chromatography B, 1997, s. 438 – 441
5. Lee, Y. J., Lee, H. S.: Simultaneous Determination of Cefoxitin, Cefuroxime, Cephalexin and Cephaloridine and Plasma using HPLC and a Column – Switching Technique, Chromatographia No 1 / 2, 1990, s. 80 – 84
6. Brendel, E., Zschunke, M., Meineke, I.: High performance liquid chromatographic determination of cefonicid in human plasma and urine, Journal of Chromatography, 339, 1985, s. 359 – 365
7. Chan, C.Y., Chan, K., French, G.L.: Rapid high performance liquid chromatographic assay of cephalosporins in biological fluids, Journal of Antimicrobial Chemoteraphy, 1986, 18, s. 537 – 545
8. Jehl, F., Birckel, P., Monteil, H.: Hospital routine analysis of penicilins, third – generation cephalosporins and aztreonam by conventional and high – speed high – performance liquid chromatography, Journal of Chromatography, 413, 1987, s. 109 – 119
9. Mayer, B., Petsch, M., Tschernko, E., Mueller, M.: Strategies for the determination of cefazolin in plasma and microdialysis samples by short – end capillary zone electrophoresis, Electrophoresis, 2003, 24, s. 1215 – 1220

10. Mrestani, Y., Neubert, R., Haertl, A., Wohlrab, J.: Determination of cephalosporins in urine and bile by capillary zone electrophoresis, *Analytica Chimica Acta*, 1997, 349, s. 207 – 213
11. Validace analytických metod. Interní materiál ÚKBD FN v HK, 1998
12. [http:// www.vscht.cz/eds/knihy/uid](http://www.vscht.cz/eds/knihy/uid)
13. Applications of diode – array detection in HPLC., Hewlett Packard, 1989, s. 11 – 23, 89 – 108
14. Brandšteterová, E., Kubalec, P.: Inštrumentácia v kapalinovej chromatografii – detektory. *Laboratorná diagnostika*, 1998, č.2, s. 101 – 103
15. Churáček, J.: Nové trendy v teorii a instrumentaci vybraných analytických metod., Praha, *Academica* 1993, s. 233 – 235
16. Muller, M.: Science, medicine, and the future: Microdialysis. *BMJ*, 2002, 324, s. 588 – 591
17. Herkner, H., Muller, M.R.: Kreischitz, N. et al.: Closed – chest microdialysis to measure antibiotic penetration in to human lung tissue. *Am. J. Respir. Crit. Care Med.*, 2002, 165, s. 273 – 276
18. Amer, P.: Microdialysis: use in human exercise studies. *Proc. Nutr. Soc.*, 1999, 58, s. 913 – 917
19. Rooyackers, O., Thorell, A., Nygren, J., Ljungqvist, O.: Microdialysis methods for measuring human metabolism. *Curr. Opin. Clin. Nutr. Metab. Care*, 2004, 7, s. 515 – 521
20. Boutelle, M.G., Fillenz, M.: Clinical microdialysis: The role of online measurement and quantitative microdialysis. *Acta Neurochir.*, 1996, 67(Suppl.), s. 13 – 20
21. de la Peña, A., Liu, P., Derendorf, H.: Microdialysis in peripheral tissues. *Adv. Drug. Deliv. Rev.*, 2000, 45, s. 19 – 216
22. Bellmann, R., Kuchling, G., Dehghanyar, P. et al.: Tissue pharmacokinetics of levofloxacin in human soft tissue infections. *Br. J. Clin. Pharmacol.*, 2004, 57, s. 563 – 568
23. Holík, M.: Validace analytických metod. Příručka Katedry teoretické a fyzikální chemie Přírodovědecké fakulty MU, 1994

24. Šabartová, J.: Validace analytických metod v kontrole léčiv. SÚKL, 1992
25. Suchánek, M. et al.: Kvalimetrie (validace analytických metod). Praha, Eurachem, 1997, s. 9 – 109
26. Friedecký, B.: Minimum chemické metrologie. FONS, 1998, č.3, s. 27 – 30